

DNMI

DET NORSKE METEOROLOGISKE INSTITUTT

klima

**KLIMASTATISTIKK FOR VÆRSTASJON 8711 ANDØYA
1981-1991**

PETTER ØGLAND OG EIRIK J. FØRLAND

RAPPORT NR. 05/93 KLIMA



DNMI-RAPPORT

DET NORSKE METEOROLOGISKE INSTITUTT
POSTBOKS 43 BLINDERN 0313 OSLO 3

TELEFON: 22 96 30 00

ISBN

RAPPORT NR.

05/93 KLIMA

DATO

09.02.1993

TITTEL

KLIMASTATISTIKK FOR VÆRSTASJON 8711 ANDØYA
1981-1991

UTARBEIDET AV

Petter Øgland
Eirik J. Førland

OPPDRAKSGIVER

DNMI - Klimaavdelingen
Andøya Rakettskytefelt

SAMMENDRAG

Rapporten gir en beskrivelse av Andøya værstasjon og oversikt over normaler, middelveier og ekstremer for temperatur og nedbør.

Hoveddelen av rapporten omhandler klimastatistikk basert på timevise observasjoner for perioden 1981-1991. Det er beregnet standardstatistikk (middelveier, standardavvik, ekstremer) for lufttrykk, lufttemperatur, relativ fuktighet og synsvidde. Videre er det utført frekvensanalyse av synsvidde, skydekke og vind.

Det er også foretatt analyse av ulike kombinasjoner av skydekke og vindhastighet både på årsbasis og for enkeltmåned, og for ulike vindretningssektorer. Til slutt er det gitt en oversikt over varighet av episoder med vindhastighet og skydekke under visse terskelnivåer.

UNDERSKRIFT

..... Eirik J. Førland
Eirik J. Førland

..... Bjørn Aune
Bjørn Aune

SAKSBEHANDLER

FAGSJEF

I N N H O L D

1.	INNLEDNING.....	2
2.	ANDØYA VÆRSTASJON.....	3
3.	DATAGRUNNLAG.....	5
3.1	Parametre og definisjoner.....	5
3.2	Datadekning.....	7
3.3	Kvalitetskontroll.....	9
4.	MIDDELVERDIER OG EKSTREMER FOR ANDØYA 1958-1992.....	12
4.1	Lufttemperatur.....	12
4.2	Nedbør.....	13
5.	KLIMASTATISTIKK FOR TIMEVISE OBSERVASJONER 1981-1991.....	14
5.1	Standardstatistikk.....	14
5.2	Synsvidde.....	18
5.3	Skydekke.....	25
5.4	Vind.....	29
5.5	Samvariasjon mellom skydekke og vindhastighet...	33

1. INNLEDNING

Andøya Rakettskytefelt (Norsk Romsenter) opplyste i møte med DNMI våren 1991 at de trengte detaljert klimastatistikk for å vurdere forholdene for rakettoppskytninger i ulike deler av året. De foreliggende digitaliserte dataserier ved DNMI (Det norske meteorologiske institutt) med observasjoner hver sjette timer var ikke godt nok grunnlag for slik statistikk. Sommeren 1992 fikk derfor DNMI på oppdrag fra Andøya Rakettskytefelt utført punching av timevise observasjoner fra værstasjonen ved Andøya Flystasjon for tidsrommet 1981-1991. Utgiftene til punching ble dekket av Andøya Rakettskytefelt, og punchingen ble utført ved Quick Puncheservice i Nittedal.

DNMI's ordinære klimadata-lager var ikke særlig godt egnet til data-behandling av dette datasettet. Dataene ble derfor lagt inn som et pilotdatasett i Klima-avdelingens nye Oracle database. Hovedforfatteren av denne rapporten, Petter Øgland, har derfor måttet gjøre et nybrottsarbeid med innlesing og formattering av data, sammenskjøting av timevise og synoptiske observasjoner, opplegg for kvalitetskontroll, rutiner for bearbeiding av dataene og gjennomføring av selve data-analysene.

2. ANDØYA VÆRSTASJON

Værstasjonen på Andøya ligger ved Andøya Flystasjon (se kart i figur 2.1). Terrenget omkring stasjonen er flatt. Bortsett fra flyplassanleggene består området mest av lyngbevokste myrer. Flaten er avgrenset i vest av en fjellrygg som strekker seg sørover i sektor 200-260°. De høyeste deler av denne ryggen ligger ca. 500 m.o.h. Toppen Andhauvet (288 m.o.h.) ligger ca. 3 km vest for værstasjonen. I alle andre sektorer er flaten avgrenset av sjøen.

De meteorologiske målingene på Andøya værstasjon startet i mai 1958, men måleprogrammet de første årene var begrenset og det var flere brudd i måleseriene. Regulære målinger kom først i gang i 1962. Opp gjennom årene har det vært en rekke flyttinger av målested og endringer i instrumentering. Den siste flytting av instrumenthytte og nedbørmåler skjedde i 1988. Instrumenthytten står etter flyttingen ca. 30 meter sørøst for Værtjenestekontoret (se figur 2.1). I 1992 ble det skiftet til ny instrumenthytte.

Den geografiske posisjon til værstasjonen er 69°18'N og 16°09' E. Værstasjonens høyde over havet er 10 meter.

De timevise verdier av lufttemperatur og luftfuktighet fjernavleses fra MITEF-temperaturfølere plassert i instrumenthytten. Det foretas også manuelle kontrollmålinger på kvikksølvtermometre og Lambrecht torsjonshygrometer plassert i instrumenthytten. Skydekke og synsvidde blir bedømt visuelt etter skalaer gitt h.h.v. i tabell 3.1.2 og 3.1.3. Lufttrykket avleses på stasjonsbarometer inne i Værtjenestebygningen.

Det er to vindmålere på stasjonen. I denne rapporten er det kun benyttet data fra vindmåleren i sydenden av flyplassområdet (se figur 1). Vindfølerne er montert 10 meter over bakken. Frem til 1986 ble vinden registrert med Fuess 90z vindmålere. I 1986 ble det skiftet til Vaisala WAA 15 Anemometer og WAV 15 Wind Vane. I september 1986 ble det satt i drift en ASEA skyhøydemåler type QL 1212 øst for GCA.

Ved stasjonen tas det meteorologiske observasjoner hver halve time i tidsrommet 0400 til 1900, og hver time i resten av døgnet.

3. DATAGRUNNLAG

Resultatene i rapporten er i hovedsak basert på timevise observasjoner i perioden 1981-1991. Dette utgjør 96408 observasjonstidspunkter. Hver av de timevise observasjoner inneholder 7 værparametre (tabell 3.1.1), slik at datasettet består at $7 \cdot 96408 = 674856$ registreringer.

Datadekningen er stort sett svært bra, men datasettet inneholder noen feil.

Feilene skyldes delvis ukorrekte observasjoner og delvis feil under punching av data.

3.1 Parametre og definisjoner

Tabell 3.1.1 gir en oversikt over parametre, forkortelser benyttet i rapporten og enheter benyttet under måling. Spesielt kan man bemerke at vindregistreringene er gjort i knop, men er i analysen i denne rapporten konvertert til m/s.

Værparameter	Forkortelse	Måleenhet
Lufttrykk i stasjonsnivå	PO	hPa
Lufttemperatur	TT	°C
Relativ fuktighet	UU	prosent
Vindretning	DD	dekagrđ.
Vindhastighet	FF	knop
Samlet skydekke	N	kode
Synsvidde	VV	kode

Tabell 3.1.1 Forkortelse og måleenhet benyttet ved stasjonen.

Tabellene 3.1.2 og 3.1.3 viser kodene som er benyttet ved den visuelle bedømmelse av skydekke og synsvidde.

Kode for skydekke (N)	Forklaring
0	Ingen skyer
1	høyst 1/8 dekket, ikke helt klart
2	2/8 dekket
3	3/8 dekket
4	4/8 dekket
5	5/8 dekket
6	6/8 dekket
7	minst 7/8 dekket, ikke helt overskyet
8	helt overskyet
9	Ubestemmelig p.g.a. tåke, snøfokk e.l.

Tabell 3.1.2 Observasjonskode for samlet skydekke

Kode for synsvidde benytter en enhet på 0.1 km i kode fra 1 til 50, enhet på 1 km i kode fra 56 til 79 og enhet på 5 km i kode fra 80 til 88.

Kode for synsvidde (VV)	Forklaring
00	mindre enn 100 m
01	0.1 km
...	...
10	1.0 km
11	1.1 km
...	...
50	5.0 km
51 til 55	brukes ikke
56	6 km
57	7 km
...	...
79	29 km
80	30 km
81	35 km
...	...
88	70 km
89	75 km eller mer

Tabell 3.1.3 Observasjonskode for synsvidde

Vindretning (DD), dvs. den retning vinden kommer fra, er midlet over en 10 minutters periode. Observasjonene er angitt i dekadgrader (00-36) hvor 00 betegner vindstille, 36 vind fra nord, 09 vind fra øst, 18 vind fra sør og 27 vind fra vest.

I rapporten er det benyttet en spesiell algoritme for å fordele vindretningsobservasjonene (dekadgrader) på de åtte vindretningssektorer N (33.75-36 og 1-2.25), NE (2.25-6.75), E (6.75-11.25), SE (11.25-15.75), S (15.75-20.25), SV (20.25-24.75), V (24.75-29.25) og NV (29.25-33.75).

3.2 Datadekning

Tidsrekkene for observerte parametre i perioden 1981 til 1991 er forholdsvis komplette. Tabell 3.2.1 og figurene 3.2.2 og 3.2.3 gir en kvantitativ vurdering av dekingen.

Tabell 3.2.1 viser den generelle dekingen for hver av de aktuelle parametre. Dekningen er på 99.5% eller mer for samtlige parametre med unntak av relativ fuktighet.

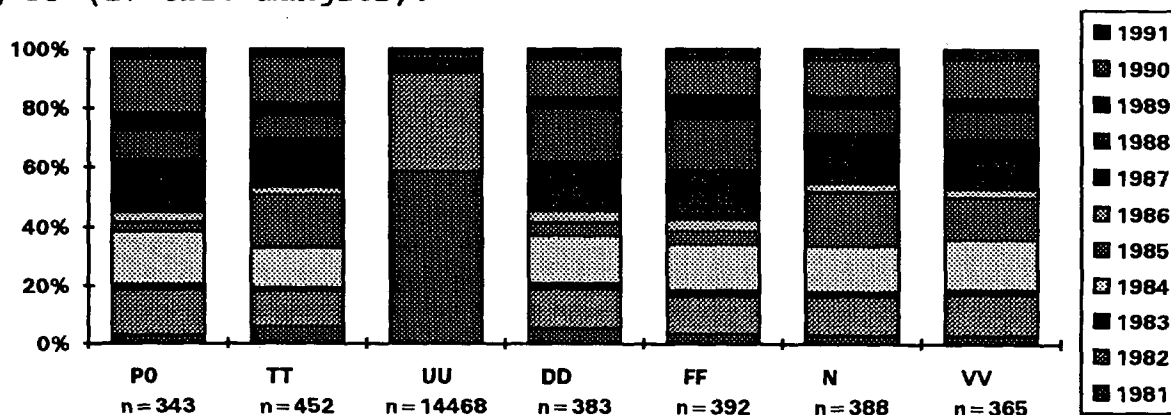
Parameter	Antall observasjoner	Dekning
PO	96065	0.996
TT	95956	0.995
UU	81940	0.849
DD	96025	0.996
FF	96016	0.996
N	96020	0.996
VV	96043	0.996

Tabell 3.2.1 Generell dekingsoversikt

Figur 3.2.2 viser hyppigheten av mangler notert for de forskjellige parametre på de forskjellige år. Med unntak av relativ fuktighet (UU) er fordelingene noenlunde like mellom de forskjellige parametre.

For relativ fuktighet (UU) er manglene særlig store 1981 og 1982. Dekningen i 1981 er på bare 2% mens dekingen i 1982 er på 46%. Manglene skyldes feil i fuktighetsføleren slik at store mengder registrerte verdier for disse årene er blitt annullert.

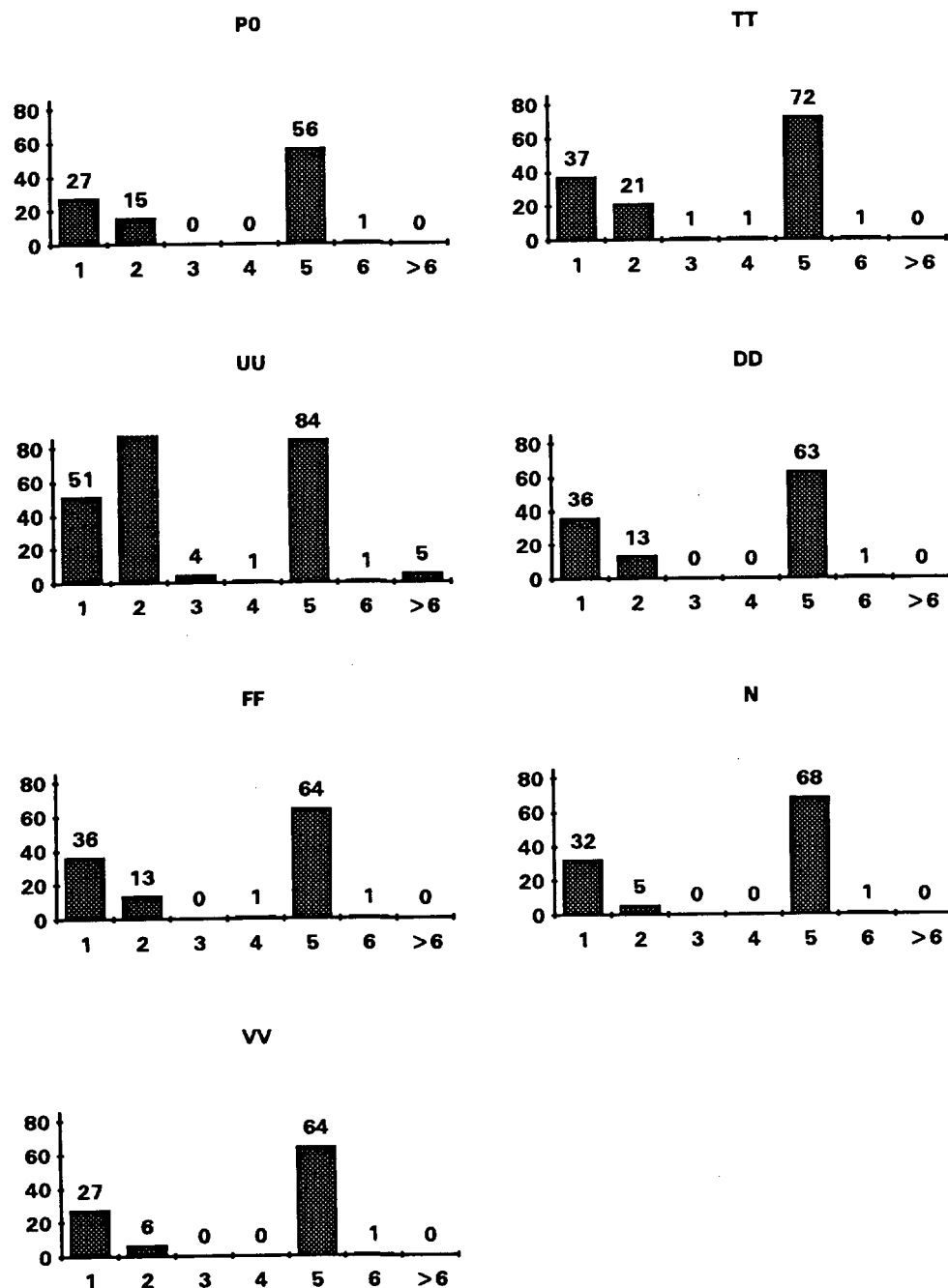
For resterende parametre er 1982, 1984, 1985, 1987 og 1990 år belastet med mangler. En tydelig visuell korrelasjon mellom manglene i figuren skyldes at hele observasjoner mangler for visse tidspunkter. Dette dreier seg hovedsakelig om noen timers brudd under høytider som jul og nyttår. Korrelasjonen er mindre mellom parametrene for året 1985. Største antall mangler finner man dette året under relativ fuktighet (80 obs. mangler), minste antall mangler er notert i vindparametrene DD og FF (17 obs. mangler).



Figur 3.2.2 Frekvensstatistikk over mangler fordelt med hensyn på år. (n = antall manglende observasjoner)

Varigheten av episoder med manglende verdier bidrar til det generelle bildet av datadekning i den forstand at man får et inntrykk av om manglene er spredt uniformt i datamaterialet eller om de hoper seg opp. Slike mønstre vil ha betydning både for interpolasjon av mangler og statistikk generelt.

Figur 3.2.3 viser antall forekomster av situasjoner hvor datadekning mangler for 1,2 og opptil 6 eller flere sekvensielle timer.



Figur 3.2.3 Hyppigheter for varigheter av episoder med manglende observasjoner.

Det fremgår av figuren at bortsett fra relativ fuktighet forekommer det ikke mangler som overstiger 6 timer. De hyppigst forekomne varigheter for episoder med manglende observasjoner er 1, 2 og 5 timer. Den høye frekvensen av 5-timersintervaller skyldes situasjoner hvor hele dager med timesobservasjoner mangler mens de synoptiske registreringene (hver 6'te time) er tilstede.

I figuren kan man registrere et felles varighetsmønster for samtlige parametre med unntak av relativ fuktighet. Relativ fuktighet har størst frekvens av parvis manglende observasjoner (726 forekomster, uavmerket grunnet felles skalering for parametrene). Hovedandelen av mangler er imidlertid konsentrert i søylen med episoder med varighet over seks timer.

De to lengste episoder med manglende verdier for relativ fuktighet er på henholdsvis 1416 timer (01.01.1981 til 28.02.1981) og 10224 timer (01.04.1981 til 31.05.1982).

3.3 Kvalitetskontroll

Under kvalitetskontroll presenteres først en generell beskrivelse av metoder og resultater, deretter en kort omtale av problemer knyttet til behandling av synsvidde.

3.3.1 Generell beskrivelse

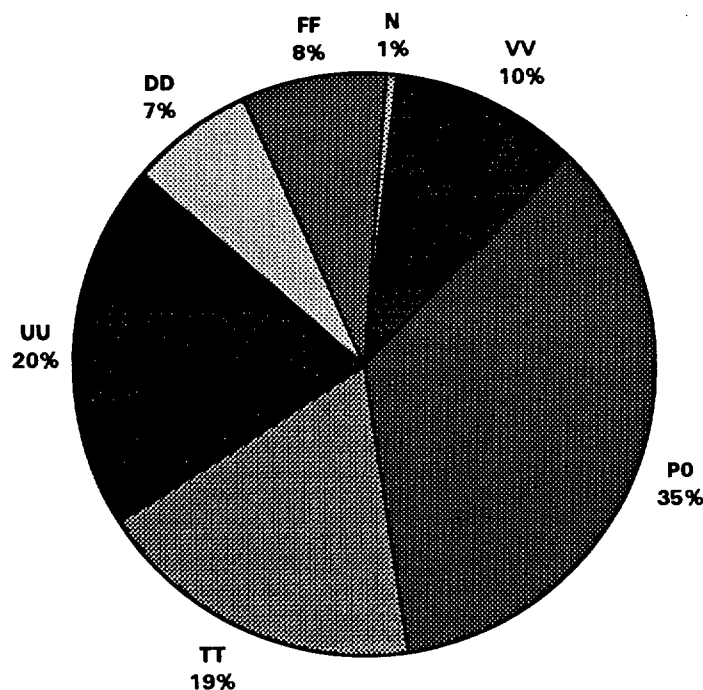
Opplegget for kvalitetskontroll har bestått av utlukning av ikke-numeriske symboler i tallmaterialet (symbolfeil), kontroll av tidsparametre (tidsfeil), kontroll på at parametre holder seg innenfor rimelige grenser, og kontroll på at tidsutvikling for gitte parametre har en begrenset variasjon (parameterfeil). Variasjonstest ("dip-test") er kun utført for parameterene P0, TT, UU og FF. Andre automatiske kontroller samt utøvelse av manuelt skjønn er gjort for samtlige parametre.

Totalt ble det registrert 6 (0.4%) symbolfeil, 326 (25.2%) tidsfeil og 960 (74.3%) parameterfeil.

Figur 3.3.1 viser den prosentvise fordelingen mellom registreringer av feil mellom de forskjellige værparametre.

Det ble registrert flest feil i trykkparameteren (342) og færrest i skydekkeparameteren (7). Trykkverdier er representert med femsifrede tall og skydekke med ensifrede, så sannsynligheten for transmisjonsfeil med hensyn på trykk er stor og skydekke liten. For skydekke er det dessuten kun utført en intervalltest samt en manuell vurdering av sprang.

Forskjellen i detekterte feil skyldes også at lufttrykk er en stabil parameter som muliggjør effektiv deteksjon og korreksjon av suspekterte verdier, mens vindretning, vindhastighet, skydekke og synsvidde er mindre stabile og vanskeligere å kontrollere.



Figur 3.3.1 Prosentvis fordeling mellom detekterte feil i datarekkene

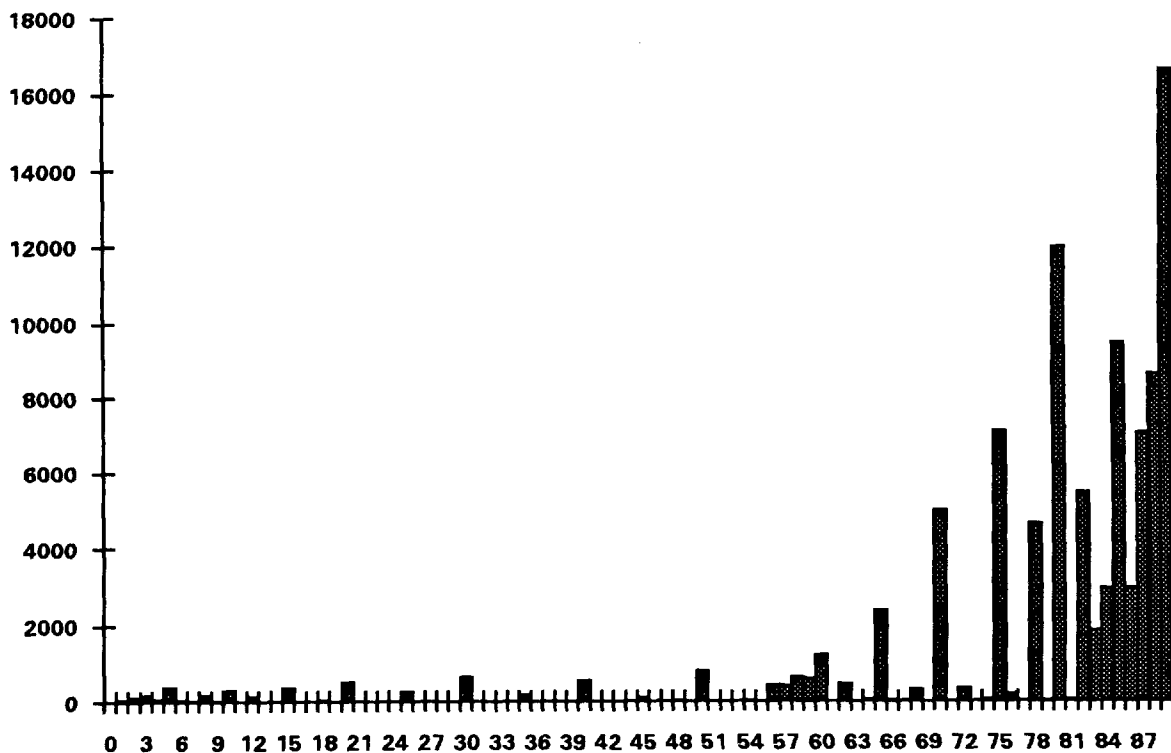
Opplagte feil er erstattet ved hjelp av lineær interpolasjon dersom nabovertiene er antatt korrekte. I motsatt tilfelle er det benyttet lineær ekstrapolasjon.

Alle rettede verdier vil bli merket med en spesiell kode ("flagget") i datasettet for eventuell etterkontroll.

3.3.2 Synsvidde

Som det fremgår av figur 3.3.2 er det systematiske skjevheter under observasjon av synsvidde. Normalt sett skulle man ha glatte overganger i kode-intervallene 1-50, 56-79 og 80-88. Synsvidde bedømmes manuelt, og tallmaterialet viser hvordan observasjonene har en tendens til å samles om opphopningsverdier.

Opphopningsverdiene er koder som 10, 15, 20 osv. (se tabell 3.1.3) slik at observasjonsrekken blir preget av systematisk avrunding.



Figur 3.3.2 Hyppigheter av kode for synsvidde

I kapittel 5.2, som omhandler frekvensstatistikk for synsvidde, er data gruppert i intervaller som kompenserer for effekten av den systematiske avrunding.

4. MIDDELVERDIER OG EKSTREMER FOR ANDØYA 1958-1992

Målingene av temperatur ved Andøya Flystasjon er komplette fra mars 1962, mens nedbørmålingene kom i gang i april 1964. Tabell 4.1 og 4.2 gir en oppsummering av temperatur- og nedbørmålingene i perioden 1962-1991. "NORMAL"-verdiene gir et estimat av middelverdiene for standard-normal perioden 1961-1990. Slike normalverdier blir ofte brukt som referanseverdier i klima-statistikk.

4.1 Lufttemperatur

Tabell 4.1 viser at høyeste målte temperatur ved Andøya Flystasjon er 27.6°C, mens den laveste -19.9°C. Det har vært registrert temperaturer under 0°C i samtlige av årets måneder bortsett fra juli og august.

Sammenliknet med den gamle målestasjonen ved Andenes Fyr, er middeltemperaturen ved flystasjonen ca. 0.8°C lavere vinterstid og omtrent like høy i mai-juli.

	ABSMAX	MAXMND	NORMAL	MINMND	ABSMIN
JAN	8.5	1.7	-2.1	-4.7	-19.9
FEB	8.1	1.4	-2.2	-7.3	-18.4
MAR	8.0	0.9	-1.4	-5.3	-19.8
APR	13.0	3.9	1.1	-1.3	-13.6
MAI	21.1	8.2	5.2	2.9	-10.5
JUN	26.1	11.6	8.5	5.6	-1.1
JUL	27.6	13.5	11.0	8.6	0.6
AUG	24.0	13.2	11.0	9.2	0.5
SEP	21.0	10.3	7.8	5.2	-4.2
OKT	16.6	7.3	4.2	0.8	-11.0
NOV	12.5	3.9	0.9	-1.3	-14.1
DES	10.5	3.0	-1.2	-4.5	-17.4
ÅR	27.6	4.9	3.6	2.3	-19.9

Tabell 4.1 Lufttemperatur (°C) ANDØYA 1961-1991
ABSMAX, ABSMIN er h.h.v. høyeste og laveste observerte temperatur
MAXMND, MINMND er h.h.v. høyeste og laveste måneds- og års-middeltemperatur
NORMAL er midlere måneds- og års-temperatur i normalperioden 1961-1990

4.2 Nedbør

Tabell 4.2 viser at oktober er den mest nedbørrike måned;- med en normal månedsnedbør på 144 mm, og med gjennomsnittlig 19 døgn med nedbør større enn eller lik 1.0 mm. Mai måned har minst nedbør med en månedsnormal på 53 mm. Lavest nedbørsum i løpet av en kalendermåned er 7 mm i mars 1987;- høyest er 276 mm i oktober 1976.

Størst nedbør i løpet av ett døgn er 67.4 mm, som ble registrert i nedbørdøgnet 21.-22. desember 1979.

I månedene desember-april faller ca. 40 prosent av nedbøren som snø.

	MAXMD	NORM	MNDMD	SNØ	R0.1	R1.0	R10.	MAXDG
JAN	233	98	35	43	20	15	2	52.9
FEB	189	86	12	33	17	13	2	31.6
MAR	178	79	7	36	18	14	2	36.6
APR	170	68	13	29	18	13	2	28.3
MAI	128	53	18	7	16	11	1	36.6
JUN	144	61	11	0	17	12	1	33.5
JUL	137	67	13	-	18	12	1	43.5
AUG	210	77	11	-	18	13	2	30.9
SEP	248	108	26	1	21	16	3	40.5
OKT	276	144	30	12	23	19	4	42.7
NOV	208	109	33	31	21	17	3	54.1
DES	182	110	20	46	21	18	3	67.4
ÅR	1621	1060	793	238	228	173	26	67.4

Tabell 4.2

NEDBØR PÅ ANDØYA 1964-1991

ABSMAX, ABSMIN er h.h.v. høyeste og laveste måneds- og års-sum (mm)

NORM er midlere måneds- og års-sum (mm) i normalperioden 1961-1990

SNØ er måneds- og års-sum (mm) av nedbør som snø

R0.1, R1.0, R10. er antall døgn pr. måned med nedbør \geq h.h.v. 0.1, 1.0 og 10.0 mm

MAXDG er største observerte døgnlige nedbørhøyde (mm) for måned og år.

5. KLIMASTATISTIKK FOR TIMEVISE OBSERVASJONER 1981-1991

5.1 Standardstatistikk

Nedenfor følger tabeller med standardstatistikk, dvs. middelværdier, standardavvik og ekstremer, over trykk, lufttemperatur, relativ fuktighet og vindhastighet basert på timevise observasjoner 1981-1991.

5.1.1 Lufttrykk i stasjonsnivå

Tabell 5.1.1 viser at høyeste målte trykkverdi ved Andøya flystasjon i perioden 1981-1991 er på 1042.0 hPa, mens laveste observasjon er på 946.0 hPa. Høyeste trykkverdi ble registrert under en høytrykksperiode som kulminerte 5. februar 1991.

	MID	SD	MAX	MIN
JAN	999.2	16.6	1041.8	948.6
FEB	1005.0	18.4	1042.1	946.0
MAR	1004.2	14.2	1039.9	964.2
APR	1008.4	10.6	1032.3	957.0
MAI	1012.2	8.4	1032.9	989.0
JUN	1010.9	7.2	1035.3	985.9
JUL	1009.7	6.9	1027.0	988.5
AUG	1008.1	7.6	1026.4	983.8
SEP	1004.7	9.8	1027.1	973.8
OKT	1002.4	12.3	1035.3	956.1
NOV	1001.6	12.9	1036.6	961.4
DES	999.4	13.7	1034.8	951.3
ÅR	1005.5	12.8	1042.1	946.0

Tabell 5.1.1 Lufttrykk (hPa) i stasjonsnivå ANDØYA 1981-1991
MID og SD betegner henholdsvis middelværdi og standardavvik. MAX og MIN er henholdsvis høyeste og laveste observerte trykkverdi.

5.1.2 Lufttemperatur

Tabell 5.1.2 viser at høyeste temperatur registrert for tiårsperioden er 25.0°C, mens laveste verdi er -20.6°C. Størst temperaturvariasjon (høyest standardavvik) finner man i vintermånedene.

	MID	SD	MAX	MIN
JAN	-2.0	4.2	7.4	-19.9
FEB	-1.6	3.9	7.2	-17.7
MAR	-1.2	3.4	7.2	-20.6
APR	1.2	3.5	12.7	-13.7
MAI	5.2	2.9	21.1	-9.4
JUN	8.1	3.2	23.9	0.2
JUL	10.7	2.8	25.0	2.5
AUG	10.7	2.9	23.6	0.1
SEP	7.6	3.1	19.3	-3.4
OKT	4.7	3.2	16.0	-7.0
NOV	0.8	3.2	9.1	-13.5
DES	-1.3	4.2	10.3	-16.0
ÅR	3.6	5.8	25.0	-20.6

Tabell 5.1.2 Lufttemperatur (°C) ANDØYA 1981-1991
MID og SD betegner henholdsvis middelværdi og standardavvik. MAX og MIN er henholdsvis høyeste og laveste observerte timesverdi.

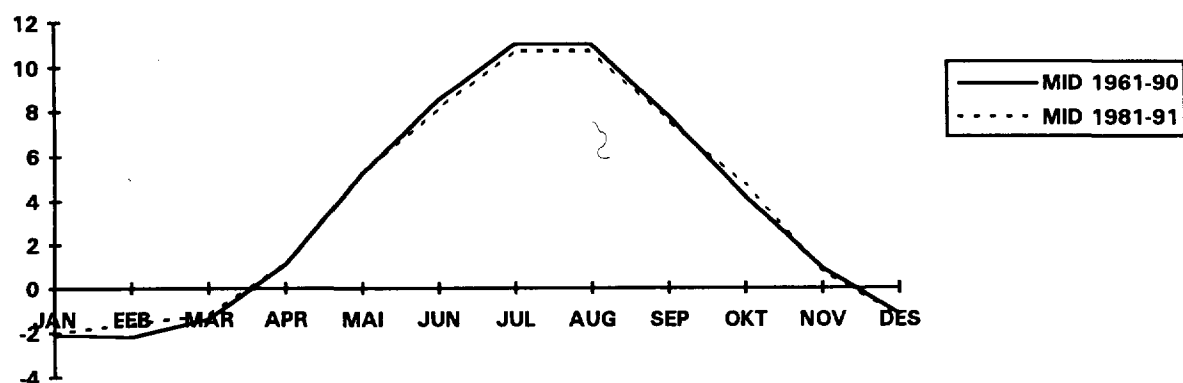
Midlere årstemperatur for perioden 1981-1991 er den samme som normaltemperatur 1961-1991 (tabell 4.1). Største avvik med hensyn på månedsmidlene finner man for februar hvor middelet for perioden 1981-91 var -1.6°C mens normalverdien er -2.2°C, dvs. avvik på 0.6°C. Midlere avvik i månedsmiddel beregnet etter formel

$$\|x - y\| = \sqrt{\sum_{i=1}^{12} \frac{(x_i - y_i)^2}{12}} \quad (5.1)$$

gir en verdi 0.3°C.

Minimumstemperaturen i tabell 5.1.2 for mars, april og august er lavere enn ekstremverdiene angitt i tabell 4.1. Årsaken er at de timeviser observasjonene er basert på en automatisk temperaturføler, mens "standardverdiene" i tabell 4.1 er basert på manuelle avlesninger av kvikksøvtermometre (hoved-, maks- og min-termometer).

Figur 5.1.3 gir en visuell sammenlikning av temperatur i perioden 1981-91 og normalperioden 1961-90.



Figur 5.1.3 Sammenlikning av temperaturmidler (C°).

5.1.3 Relativ fuktighet

Tabell 5.1.4 viser at det samtlige måneder er registrert luftfuktighet på 100%. Laveste registrering er notert for 20. oktober 1988 med en relativ fuktighet på 16%.

Midlet relativ fuktighet varierer lite fra måned til måned, men det er en tendens til lave verdier om vinteren og høye verdier om sommeren. Årsmiddel er på 80.4% og månedsverdienes standardavvik om årsmiddelet er på 2.4%.

	MID	SD	MAX	MIN
JAN	79.6	12.9	100	31
FEB	77.4	13.1	100	34
MAR	76.9	13.8	100	32
APR	79.2	14.1	100	36
MAI	80.4	13.5	100	27
JUN	82.0	12.8	100	21
JUL	85.8	11.5	100	33
AUG	82.7	11.7	100	38
SEP	81.2	12.3	100	28
OKT	80.5	12.5	100	16
NOV	79.8	13.1	100	37
DES	78.5	13.9	100	33
ÅR	80.4	13.2	100	16

Tabell 5.1.4 Relativ fuktighet (%) ANDØYA 1981-1991
MID og SD betegner henholdsvis middelferdi og standardavvik. MAX og MIN er henholdsvis høyeste og laveste observerte timesverdi.

5.1.4 Vindhastighet

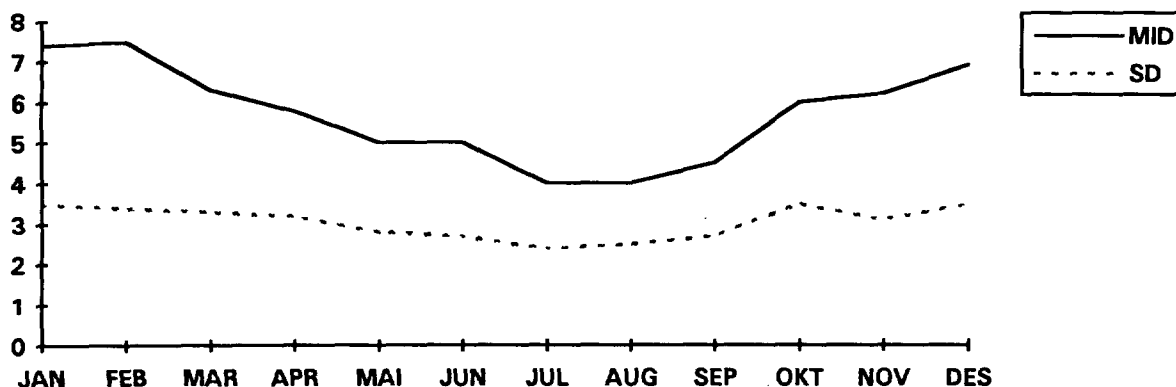
Vindhastighet er målt 10 m over bakken, og er en middelerdi av vindhastighet i løpet av en 10 minutters periode.

Høyeste vindhastighet (27 m/s, full storm) er registrert 28. januar 1989. I samtlige måneder er det målt vind med vindhastighet over 18 m/s (sterk kuling).

	MID	SD	MAX	MIN
JAN	7.4	3.5	27	0
FEB	7.5	3.4	24	0
MAR	6.3	3.3	24	0
APR	5.8	3.2	23	0
MAI	5.0	2.8	20	0
JUN	5.0	2.7	19	0
JUL	4.0	2.4	18	0
AUG	4.0	2.5	24	0
SEP	4.5	2.7	20	0
OKT	6.0	3.5	26	0
NOV	6.2	3.1	22	0
DES	6.9	3.5	26	0
ÅR	5.7	3.3	27	0

Tabell 5.1.5 Vindhastighet (m/s) ANDØYA 1981-1991
MID og SD betegner henholdsvis middelerdi og standardavvik. MAX og MIN er henholdsvis høyeste og laveste registrerte 10 minutters verdi.

Figur 5.1.6 gir en visuell tolkning av tabell 5.1.5. Figuren viser at vindhastigheten er lavest sommerstid og høyest om vinteren. Årsvariasjonen av standardavvik er stort sett positivt korrelert med middelerdi.

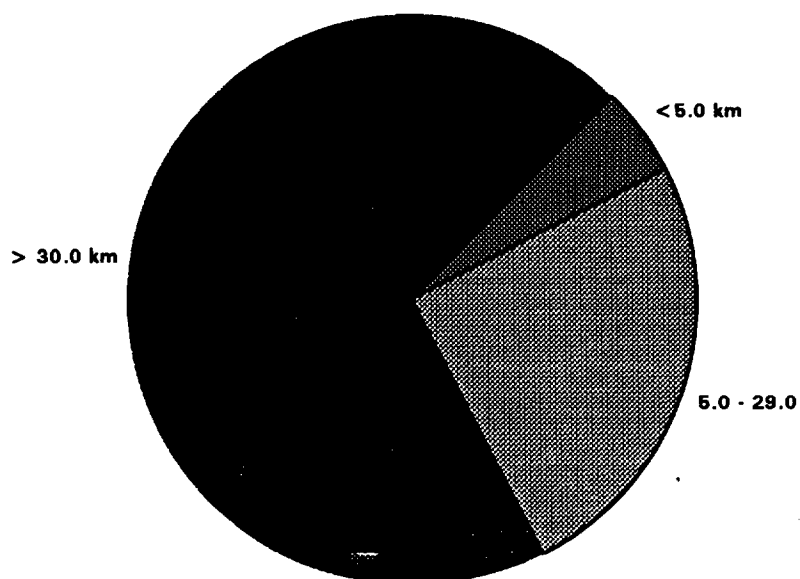


Figur 5.1.6 Middelerdi og standardavvik for vindhastighet (m/s).

5.2 Synsvidde

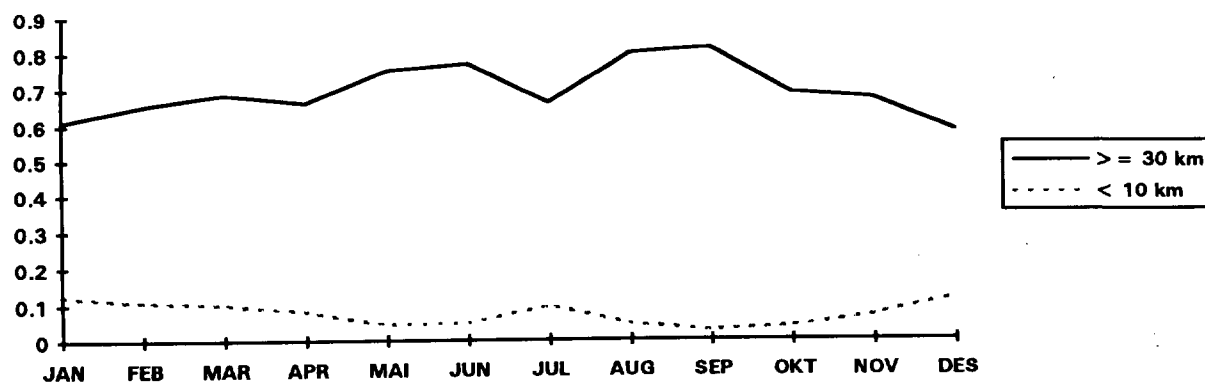
Figur 5.2.1 viser en prosentvis fordeling mellom siktkategorier på årsbasis hvor det innenfor hver kategori er brukt måleenheter på henholdsvis 0.1 km, 1.0 km og 5.0 km.

Kategoriene har volum på henholdsvis 5.2%, 24.8% og 69.6%.



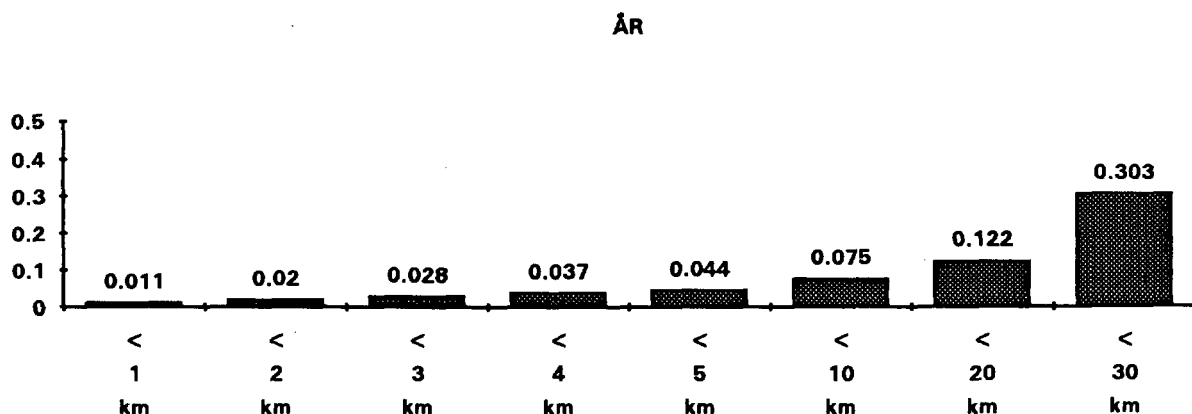
Figur 5.2.1 Sektorvis fordeling av synsviddeverdier

Figur 5.2.2 viser årsvariasjoner av synsvidde over 30 km. Det fremgår at andelen synsvidde over 30 km er lavest i desember og høyest i august og september.

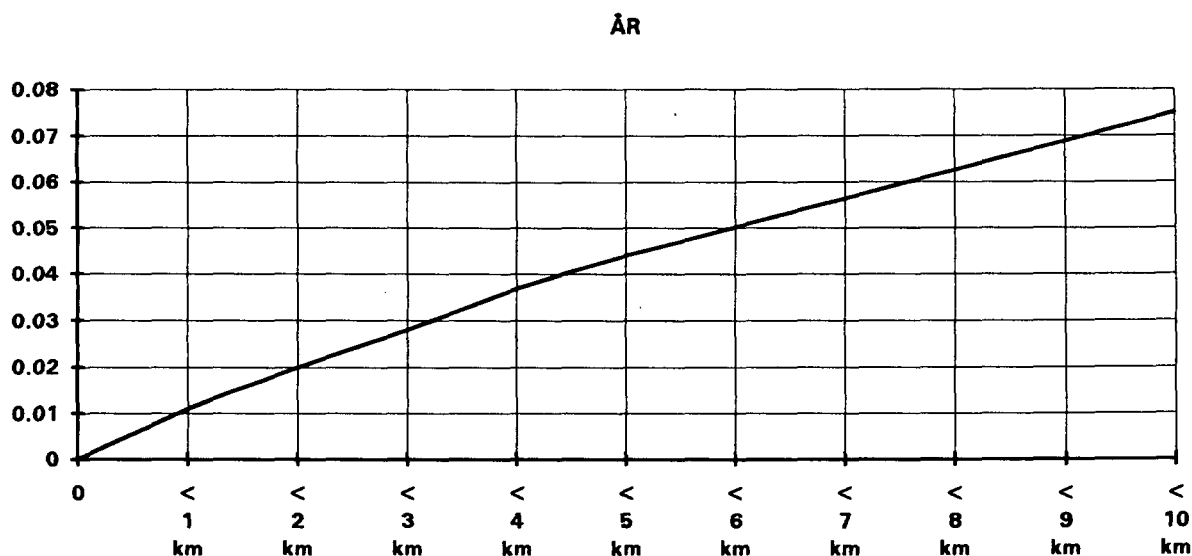


Figur 5.2.2 Relativ hyppighet av synsvidde større enn 30 km og mindre enn 10 km.

Figur 5.2.3 viser kumulative hyppigheter for synsvidde for året totalt over en finere kategorisering.



Figur 5.2.3.a Kumulative hyppigheter for synsvidde på årsbasis



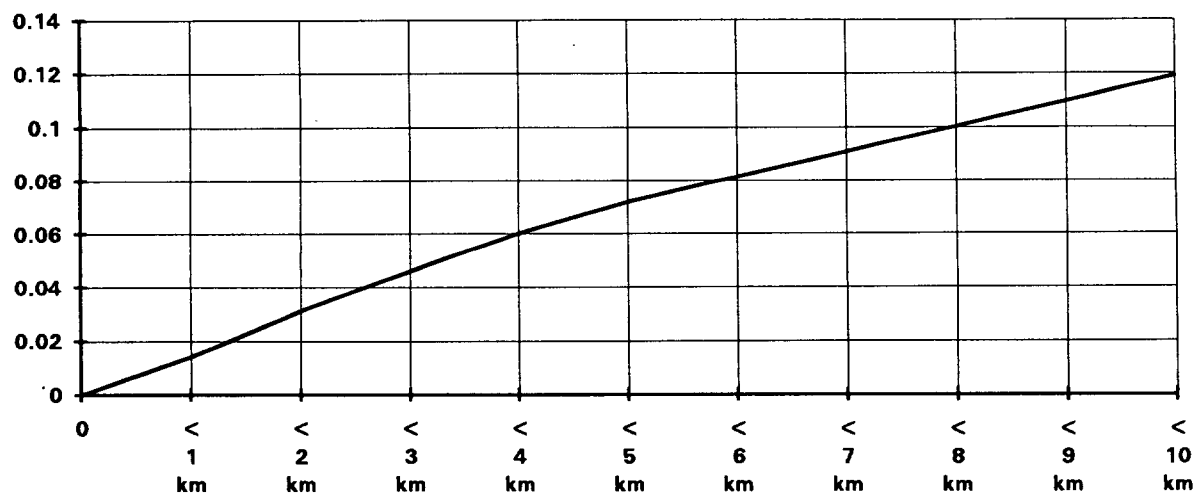
Figur 5.2.3.b Kumulativ hyppighet av synsvidde på årsbasis.

Figur 5.2.4 (a-d) beskriver de kumulative relative hyppigheter for synsvidde for de forskjellige måneder. Det fremkommer av figurene at det dreier seg kun om en marginal distribusjonsvariasjon fra måned til måned.

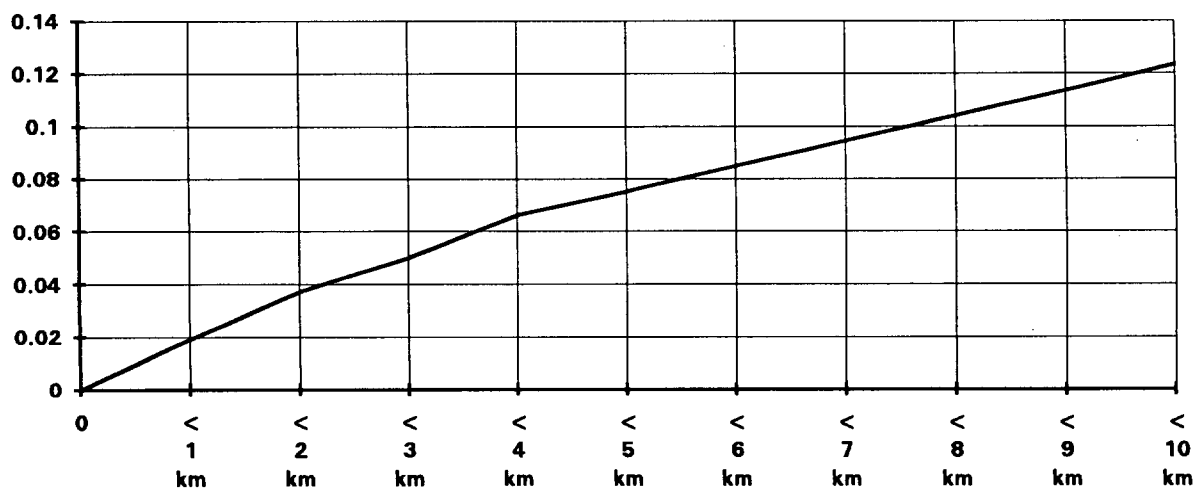
Størst hyppighet av dårlige siktforhold finner man i vintermånedene (des-jan-feb) og minst i sep-okt.

Juli skiller seg ut fra juni og august ved markert større andel i alle kategorier sikt mellom 0 og 30 km.

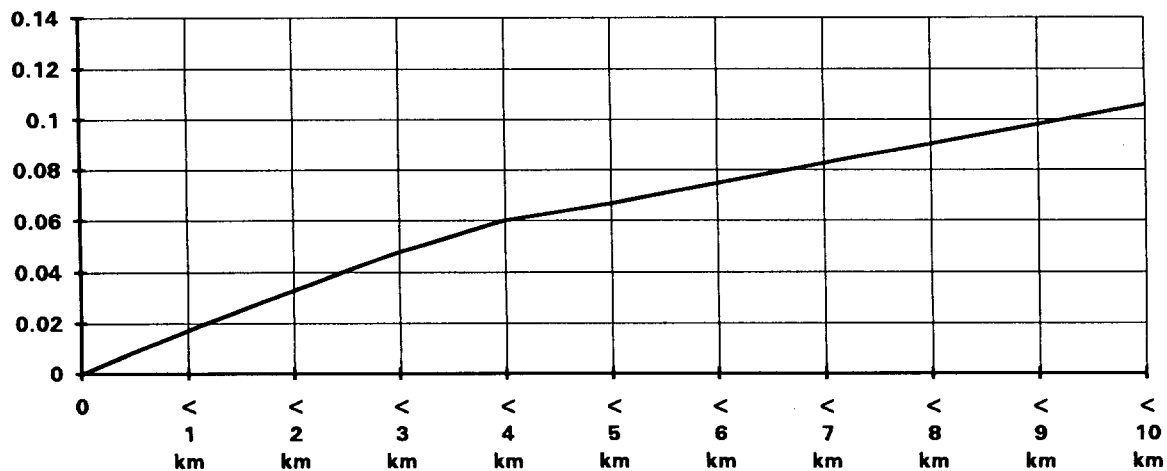
DESEMBER



JANUAR

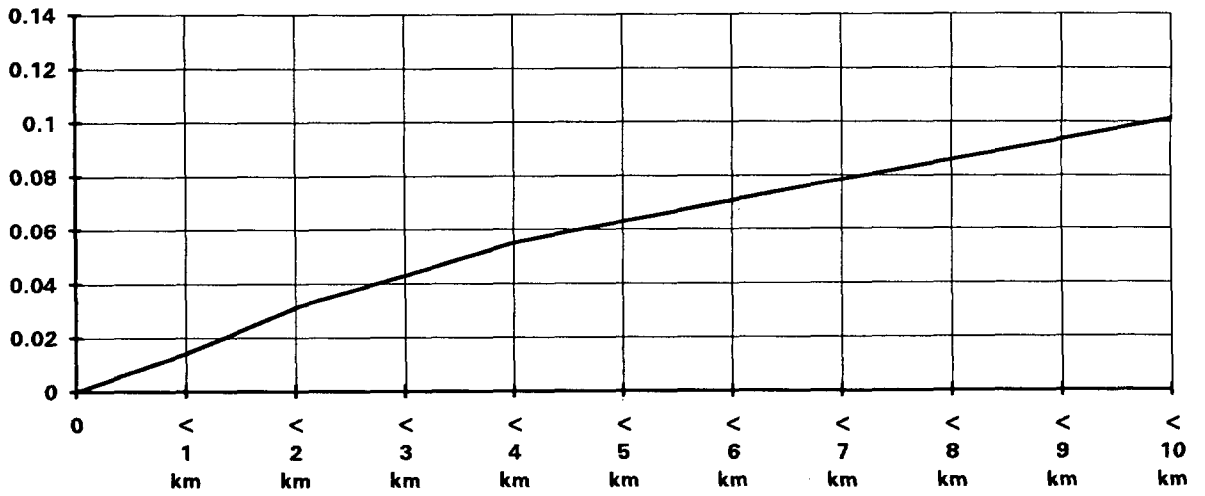


FEBRUAR

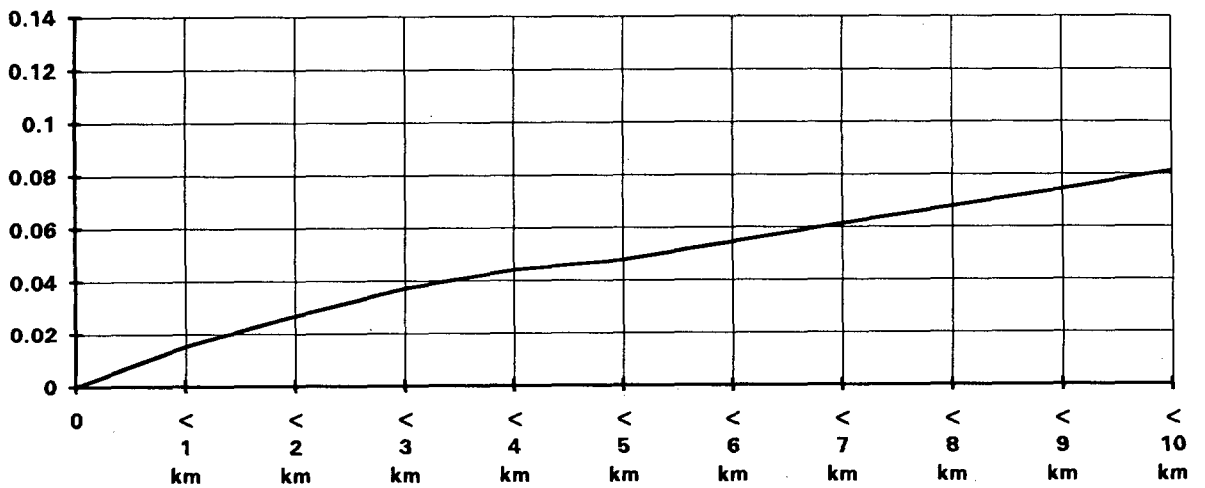


Figur 5.2.4.a Kumulative hyppigheter for synsvidde (VV) under vintersesongen (des-jan-feb).

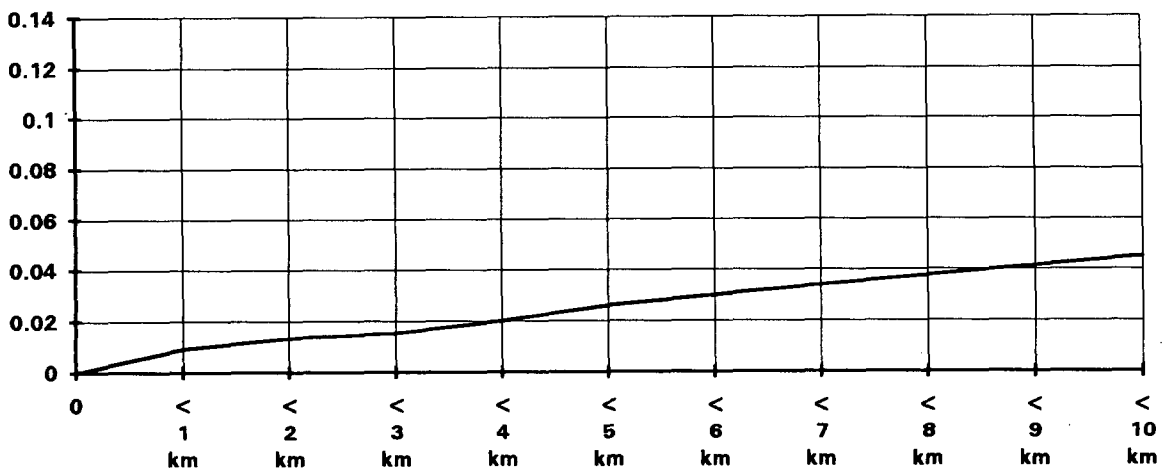
MARS



APRIL

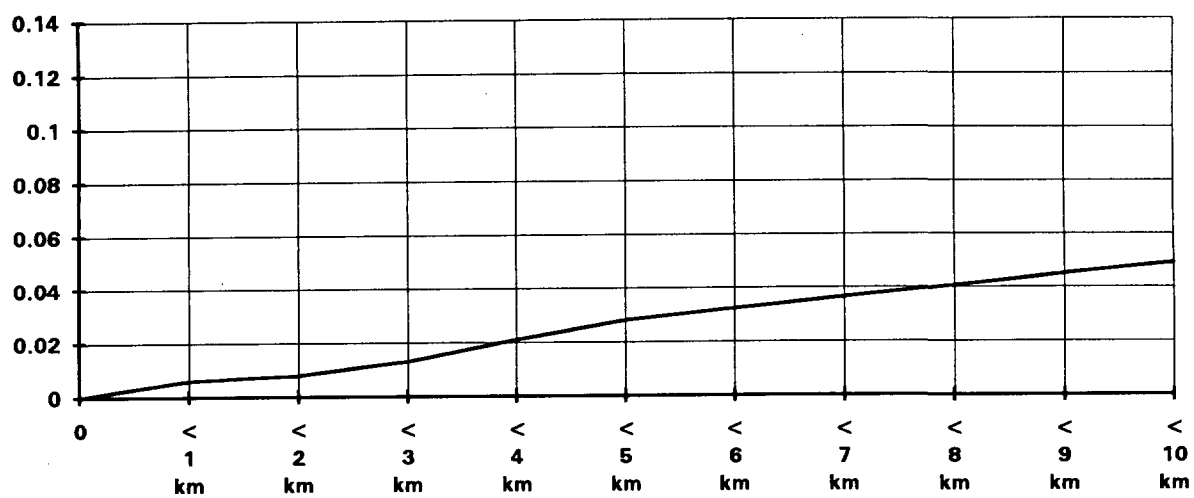


MAI

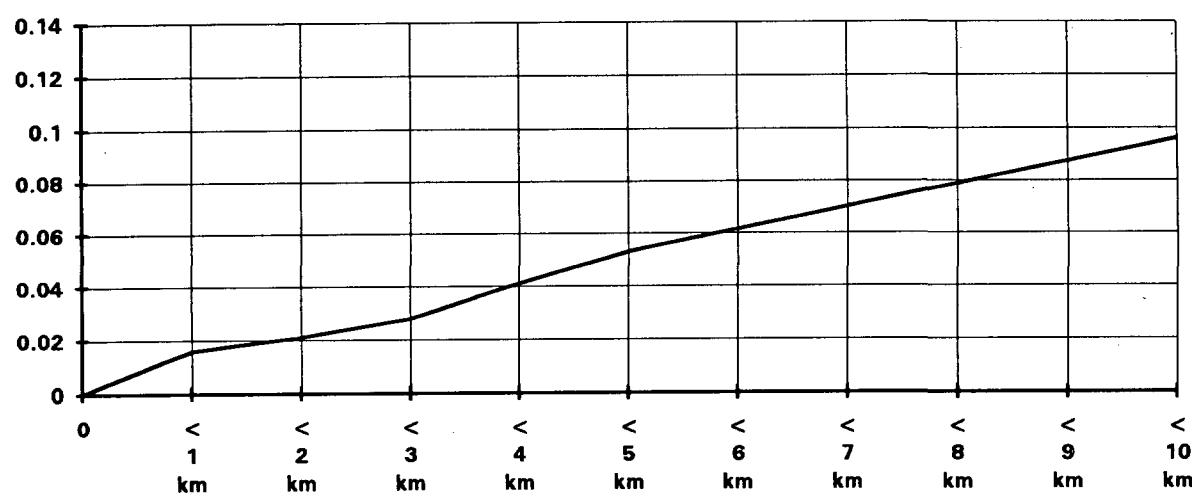


Figur 5.2.4.b Kumulative hyppigheter for synsvidde (VV) under vintersesongen (mar-apr-mai).

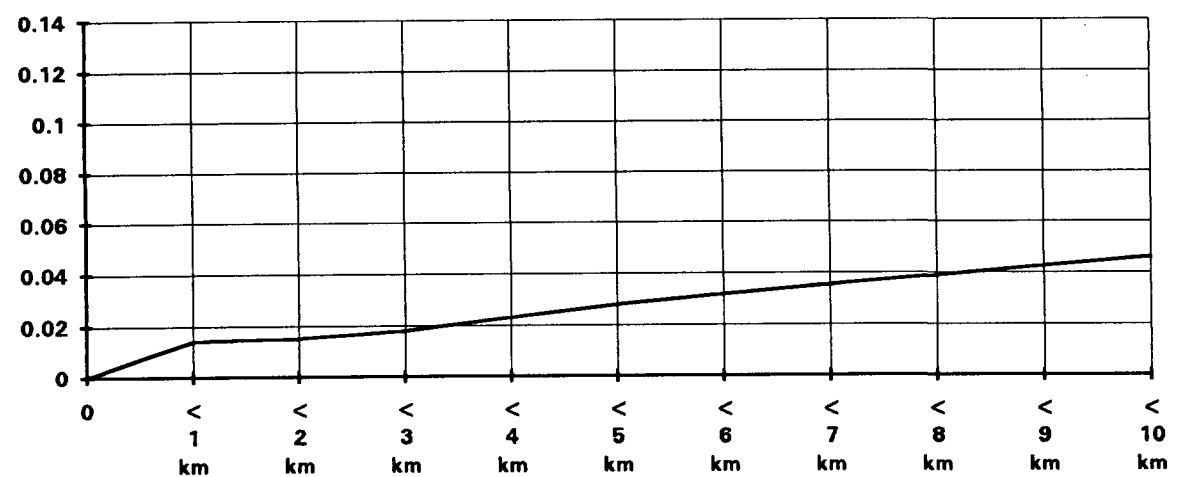
JUNI



JULI

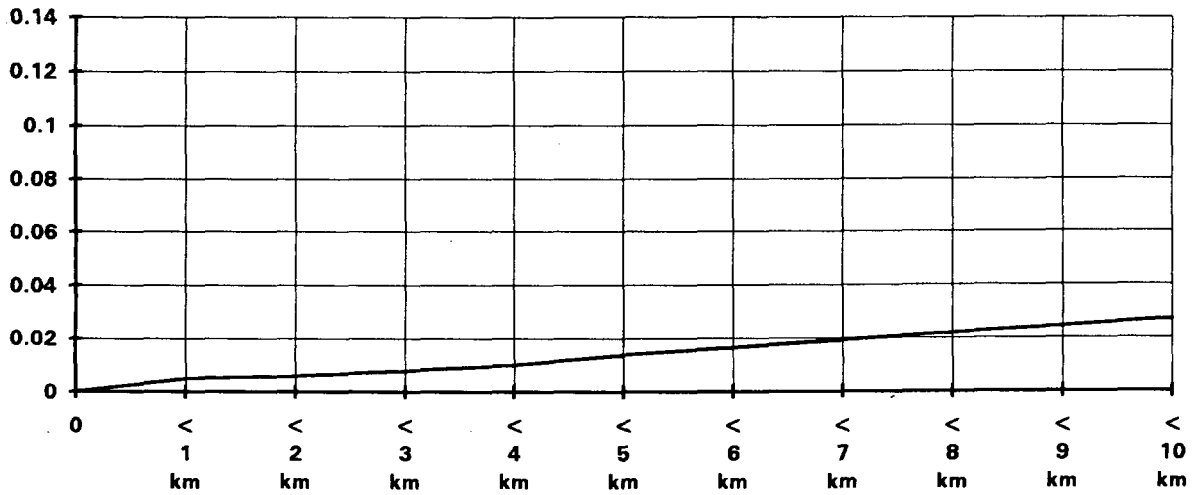


AUGUST

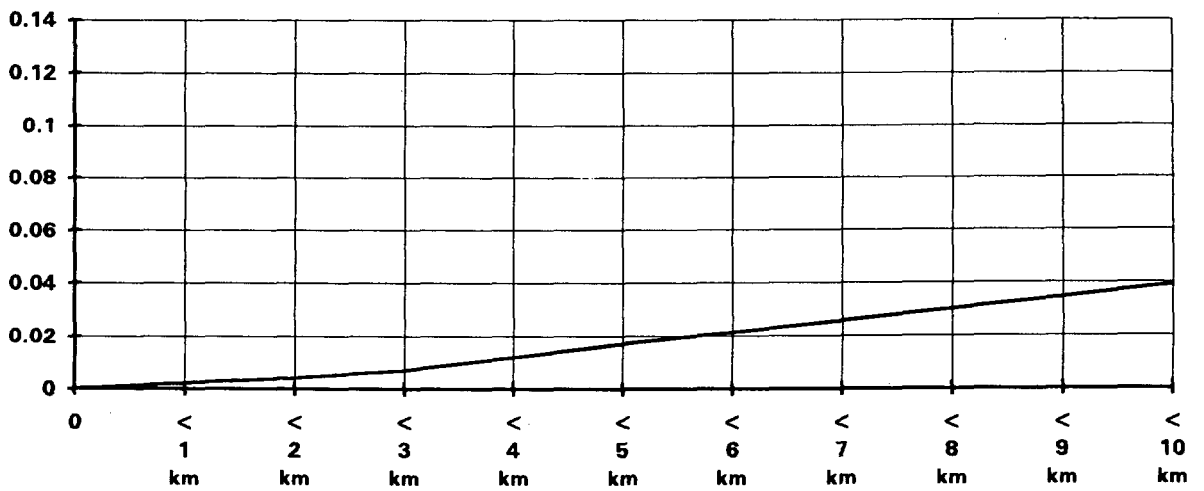


Figur 5.2.4.c Kumulative hyppigheter for synsvidde (VV) under vintersesongen (jun-jul-aug).

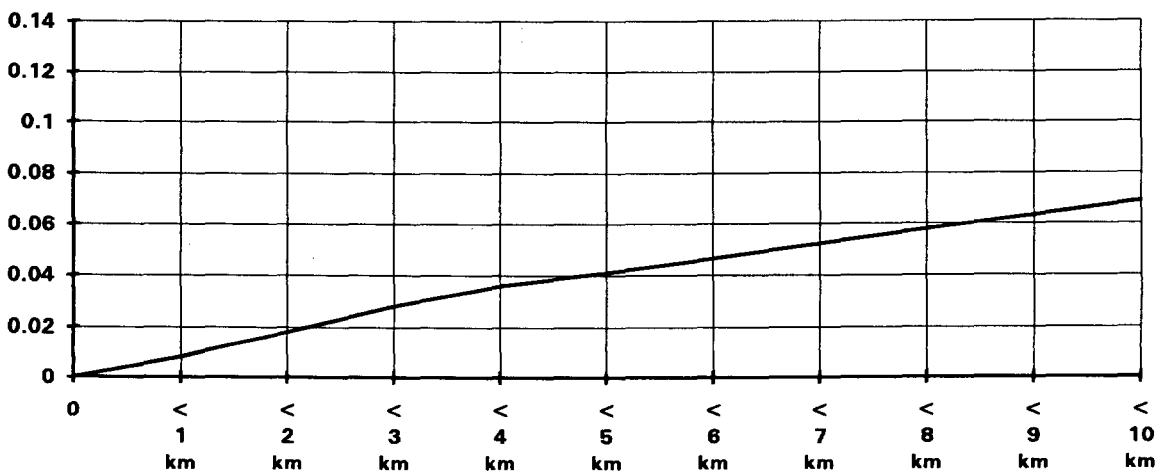
SEPTEMBER



OKTOBER



NOVEMBER

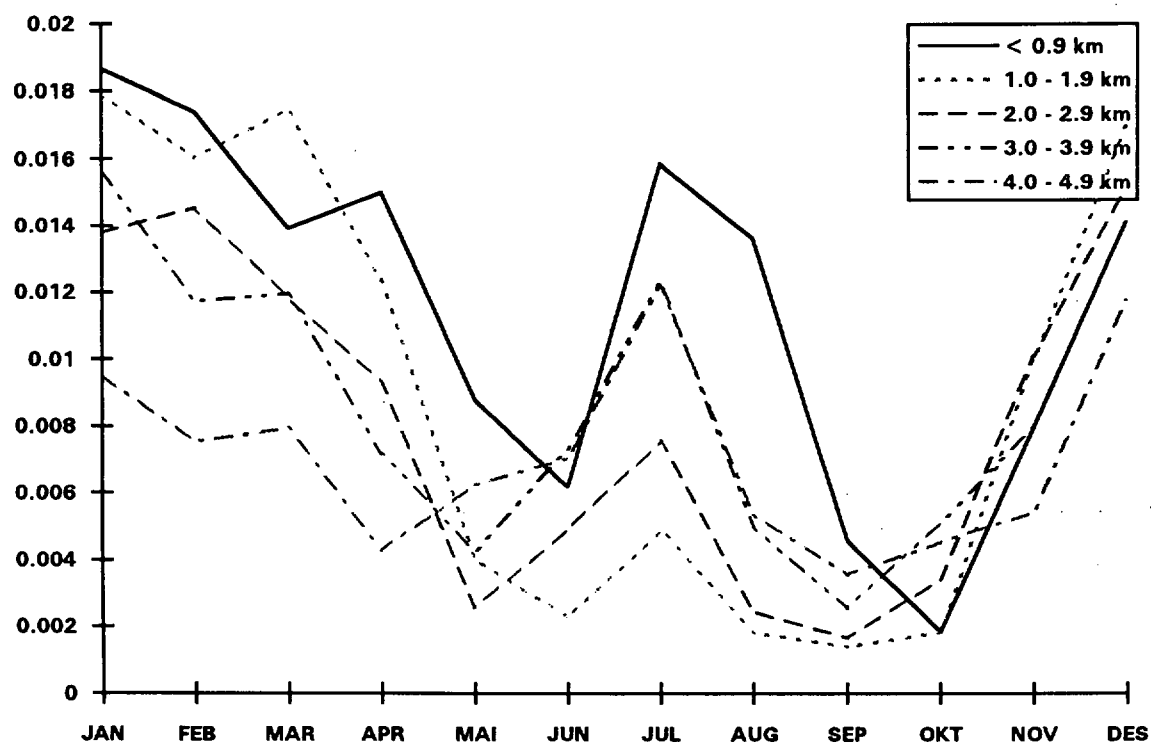


Figur 5.2.4.d Kumulative hyppigheter for synsvidde (VV) under vintersesongen (sep-okt-nov).

Figur 5.2.5 viser årsvariasjonen for fem kategorier lave synsvidder.

For samtlige kategorier i figur 5.2.5 er hyppigheten størst om vinteren og minst i mai/juni og september/oktober. Hyppigheten av dårlige siktforhold avtar utover våren og sommeren men når et lokalt maksimum i juni. Deretter er tendensen igjen fallende til kurven når sitt absolutte minimum i september/oktober og raskt vokser mot et absolutt maksimum i desember/januar.

Det lokale maksimum i juli skyldes trolig adveksjon av havtåke fra Norskehavet.



Figur 5.2.5 Relative hyppigheter for synsviddekategorier som funksjon av måned.

5.3 Skydekke

Tabell 5.3.1 gir frekvensstatistikk for skydekke med hensyn på måneder og år. Fra tabellen ser man at over 57% av årlig skydekke har kode $N \geq 7$, dvs. skydekke på mer enn 80%. I juli måned er andelen av tilfeller med $N \geq 7$ på 70% samtidig som relative hyppigheter for $N=0$ (ingen skyer) når et minimum på under 1%.

MND \ N	0	1	2	3	4	5	6	7	8	9
JAN	3.5	10.9	6.2	6.3	5.3	5.9	8.2	25.8	20.8	7.1
FEB	3.9	10.6	6.2	5.7	4.7	6.0	9.1	28.5	19.0	6.5
MAR	4.3	14.3	6.5	6.1	4.2	5.6	9.1	27.9	16.1	6.0
APR	2.0	10.5	5.3	5.5	4.2	6.9	10.3	33.0	18.1	4.1
MAI	4.0	10.6	4.9	4.8	3.8	5.7	8.3	36.0	20.7	1.2
JUN	0.9	10.0	5.5	5.1	4.1	6.0	9.1	37.9	20.8	0.6
JUL	0.7	6.2	4.1	4.1	3.3	4.3	7.6	34.2	33.5	1.9
AUG	1.3	12.8	5.9	5.8	4.0	5.8	9.5	35.9	17.7	1.4
SEP	1.7	8.7	4.5	5.9	5.1	6.7	10.6	37.1	19.3	0.4
OKT	2.6	6.2	3.5	4.3	3.7	5.7	9.8	34.8	28.3	1.0
NOV	2.7	10.5	5.4	6.4	4.6	5.9	8.5	28.9	23.2	4.0
DES	3.0	10.6	4.9	5.4	4.2	5.8	9.8	27.1	22.6	6.6
ÅR	2.5	10.2	5.2	5.4	4.3	5.8	9.2	32.3	21.7	3.4

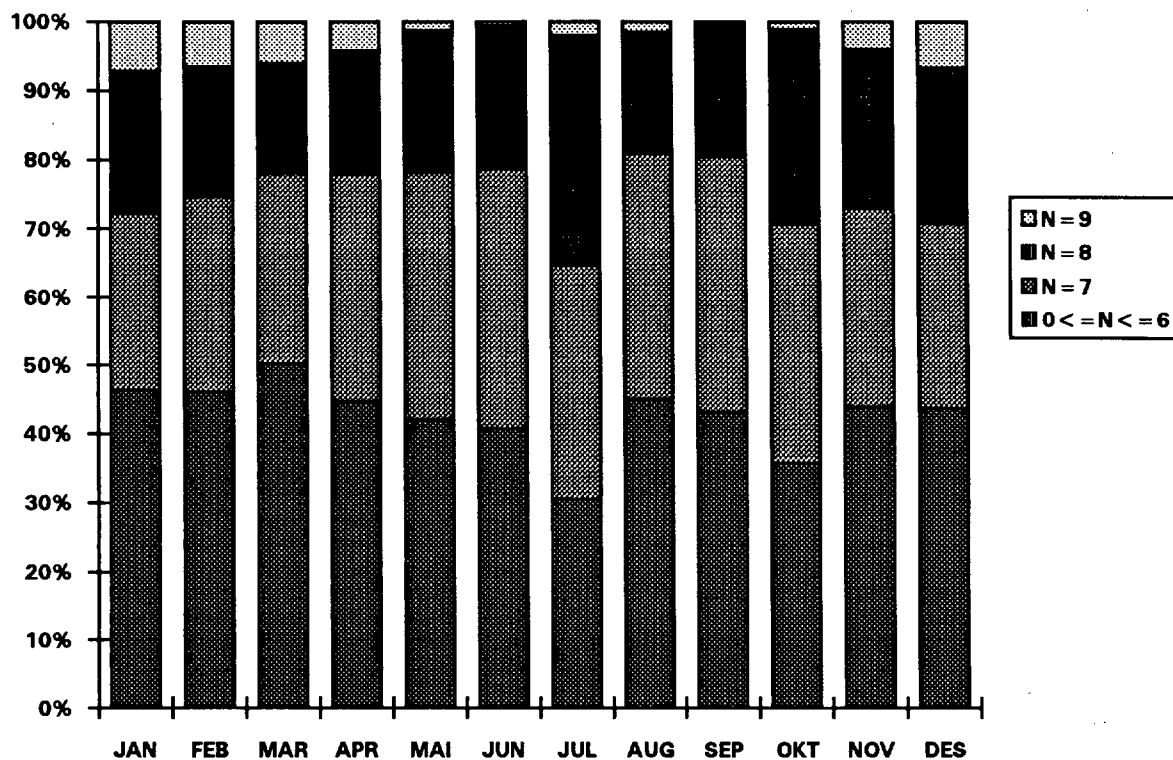
Tabell 5.3.1 Prosentvis hyppighetsfordeling for skydekke (N).

Figur 5.3.2 er en grafisk sammenlikning av hyppighetsstatistikken for gruppene $0 \leq N \leq 6$, $N=7$, $N=8$ og $N=9$.

Figuren viser at skydekkekategori $N=9$ (tåke eller snø) har en variasjon med størst hyppighet om vinteren og minst om sommeren. Man ser at årsvariasjonsmønsteret for denne gruppen korrelerer positivt med årsvariasjonen for kategorier med lav synsvidde (sml. figur 5.2.5).

Skydekkekategorien $N=8$ (helt overskyet) har et variasjonsmønster med lokale maksima i juli og oktober.

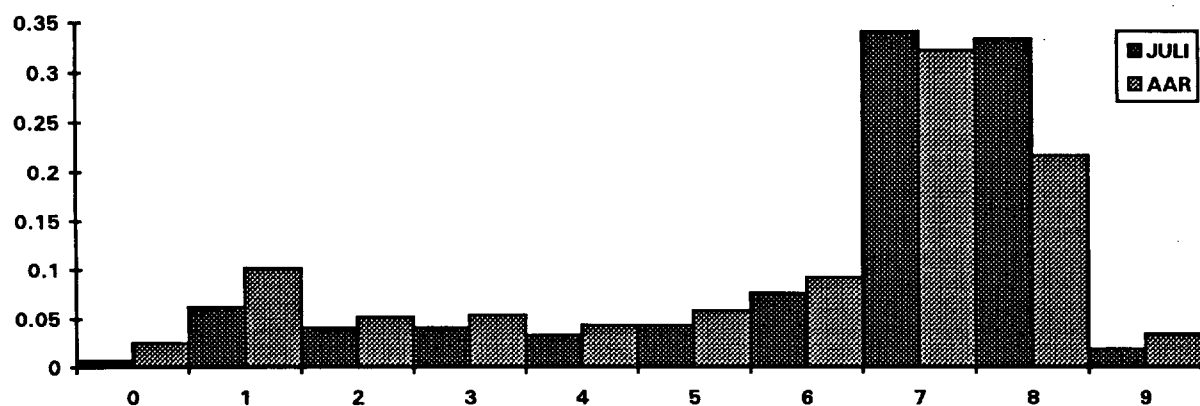
Skydekkekategorien $N=7$ har i likhet med $N=8$ to lokale maksima på henholdsvis sommeren (juli) og høsten (september), men variasjonen er mer dempet enn for $N=8$.



Figur 5.3.2 Prosentvis fordeling av månedlig skydekke

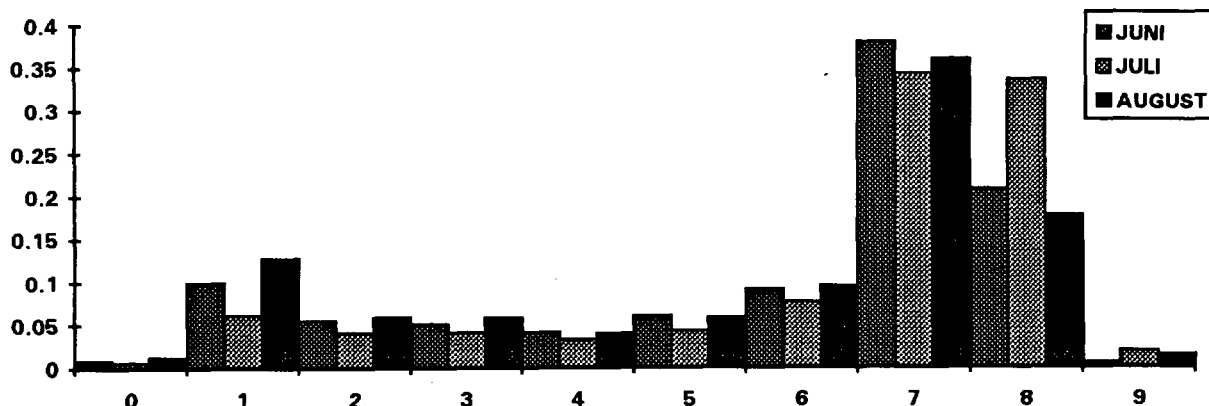
Figur 5.3.3 gir en visuell sammenlikning av distribusjonen av skydekningskode for juli og året totalt.

Sammenliknet med årsdistribusjonen ser man at samtlige skydekkegrupper er lavere i juli med unntak av skydekke N=7 og N=8.



Figur 5.3.3 Relative hyppigheter for skydekke (N). Sammenlikning mellom årsdistribusjon og julidistribusjon.

Figur 5.3.4 gir en visuell sammenlikning mellom juli og nabomånedene juni og august.



Figur 5.3.4 Relative hyppigheter av skydekke (N).
Sammenlikning mellom distribusjoner for juni, juli og august.

Den store andelen av N=8 i juli kan skyldes flere forhold

- Under avlesning eller punching av data forveksles N=0 med N=8
- Sommervikarer eller annet utrenet personale er ansvarlig for observering og registrering i juli
- Man har et interessant meteorologisk fenomen som trer i kraft i juli måned

Gjennomgang av dagbøkene gir imidlertid ikke støtte til de to første påstandene; skydekket bygger seg gradvis opp og holder seg stabilt overskyet over lange perioder, dvs. skydekkevariasjonen er ikke større i juli enn i andre måneder.

Når det gjelder den tredje muligheten har man registrert at synsvidden er markert lavere i juli (figur 5.2.4.c). Tabell 5.3.5 viser korrelasjonskoeffisienten mellom skydekke og synsvidde for juni, juli og august over perioden 1981-91 og juni, juli og august for de enkelte år.

Største avvik i korrelasjon for juli for et faktisk år mot perioden 1981-91 registreres i 1985 med en differanse på 0.09. 1985 gir høyeste absolutte korrelasjon (-0.51).

Standard avvik for hver av kolonnene er henholdsvis på 0.055 (juni), 0.049 (juli) og 0.072 (august). Den interne variasjonen med hensyn på korrelasjon mellom synsvidde og skydekke er altså lavere for juli enn juni og august.

Konklusjonen er derfor at de lave synsviddeverdier og høye skydekkeverdier i juli er reelle, og skyldes trolig adveksjon av havtåke og tåkeskyer fra Norskehavet.

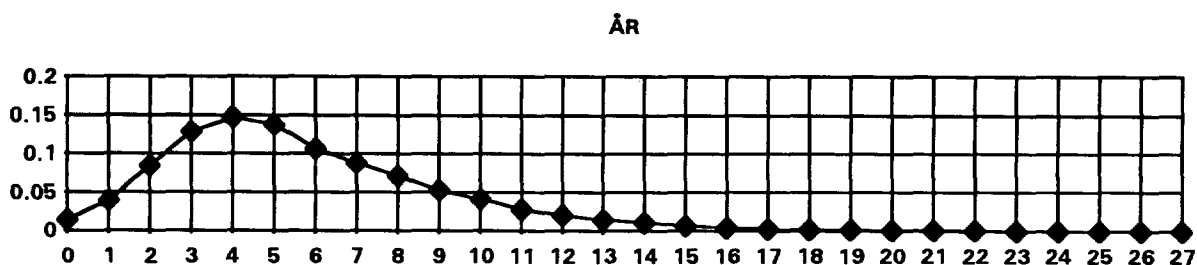
PERIODE	CORR (VV, N)		
	JUNI	JULI	AUGUST
1981	-0.33	-0.40	-0.44
1982	-0.48	-0.37	-0.30
1983	-0.36	-0.36	-0.30
1984	-0.32	-0.40	-0.34
1985	-0.32	-0.51	-0.35
1986	-0.40	-0.43	-0.40
1987	-0.39	-0.49	-0.32
1988	-0.43	-0.47	-0.53
1989	-0.35	-0.38	-0.43
1990	-0.38	-0.43	-0.31
1991	-0.46	-0.42	-0.38
1981-1991	-0.38	-0.42	-0.36

Tabell 5.3.5 Korrelasjon mellom synsvidde og skydekke

5.4 Vind

Standardstatistikken fra tabell 5.1.5/figur 5.1.6 viser at det blåser mest om vinteren (desember, januar og februar) og minst på sensommeren (juli, august og september). Vindforholdene blir dessuten mer stabile mot sommeren, og standard avvik når et minimum på 2.4 m/s i august. Standard avvik vokser så utover høsten med et lokalt minimum i november (sml. figur 5.1.6).

Figur 5.4.1 viser relative hyppigheter for vindhastighet ved Andøya i perioden 1981-91.



Figur 5.4.1 Relative hyppigheter av vindhastighet (FF) i m/s.

Figur 5.4.2 inneholder tilsvarende hyppighetsfordelinger for hver enkelt måned. Figuren er gruppert sesongvis.

Man ser hvordan tyngdepunktet for fordelingen flytter seg mot lavere verdier om sommeren, hvor det antar et minimum i juli og august måned. Man ser også hvordan variansen avtar mot sommeren og øker på høsten ved at kurvene flates ut.

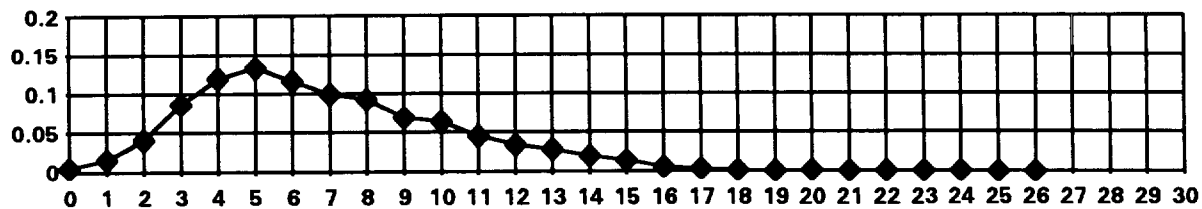
I figur 5.4.2.a er den relativt store sannsynlighetsmassen fra 5-11 m/s et karakteristisk trekk. For februar ser man i særdeleshet hvordan fordelingen avviker fra kurven gitt i figur 5.4.1.

Vårmånedene mars, april og mai (figur 5.4.2.b) har på sin side de fordelinger som ligger tettest opp mot årsfordelingen med en maksimal relativ hyppighet på ca. 15% for en vindhastighet på 4 m/s (mai).

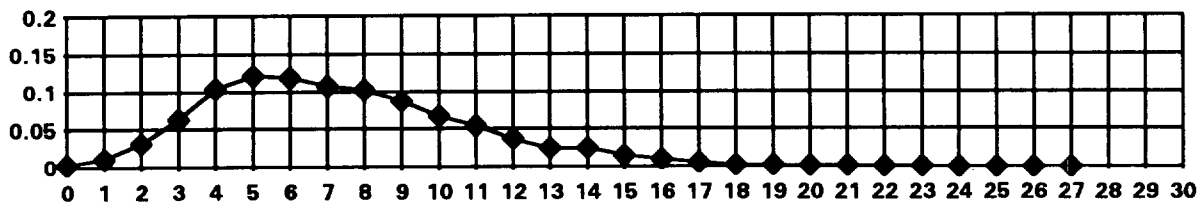
I figur 5.4.2.c ser man hvordan variansen reduseres mot slutten av sommersesongen med konsentrert sannsynlighetsmasse om de lavere verdier. I august finner man den mest ekstreme kurven med en topp rundt vindhastighet 3 m/s.

I figur 5.4.2.d ser man hvordan midlere vindhastighet og varians gradvis øker utover høsten.

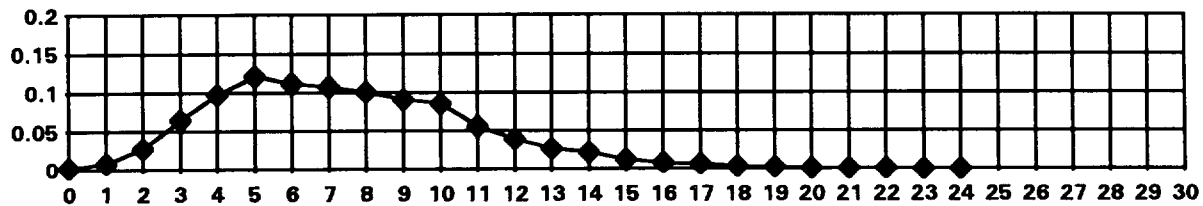
DESEMBER



JANUAR

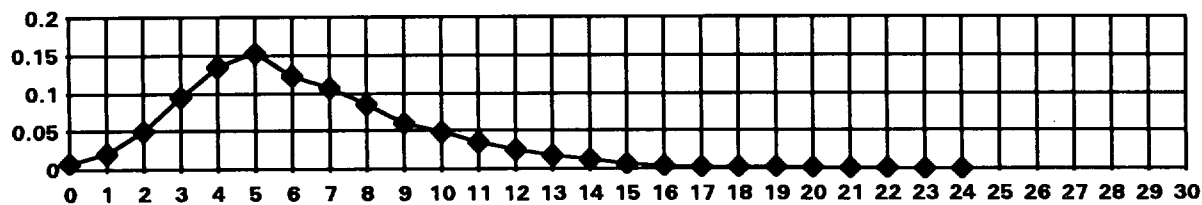


FEBRUAR

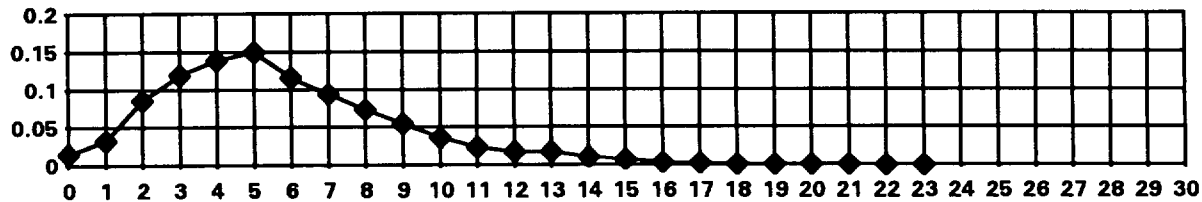


Figur 5.4.2.a Relative hyppighet for vindhastighet (FF) i m/s for vintersesongen.

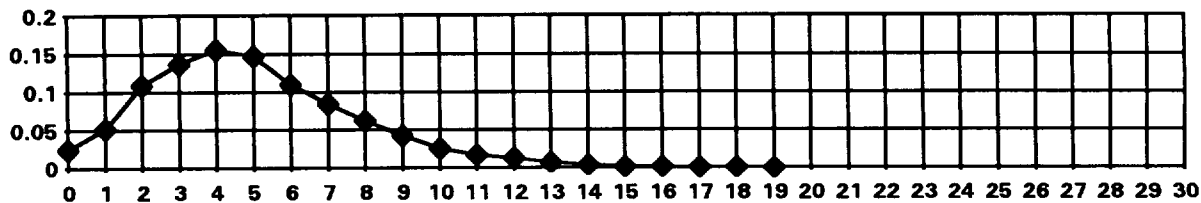
MARS



APRIL

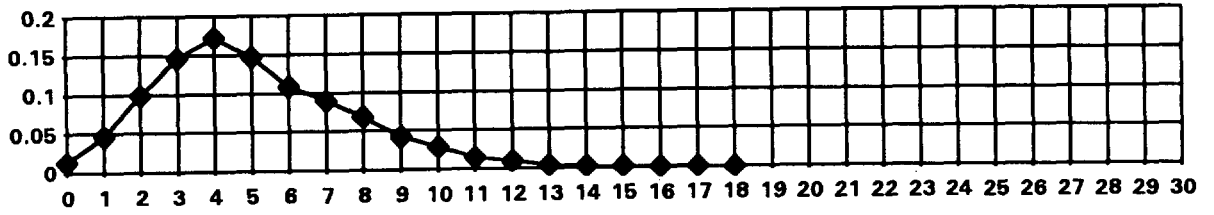


MAI

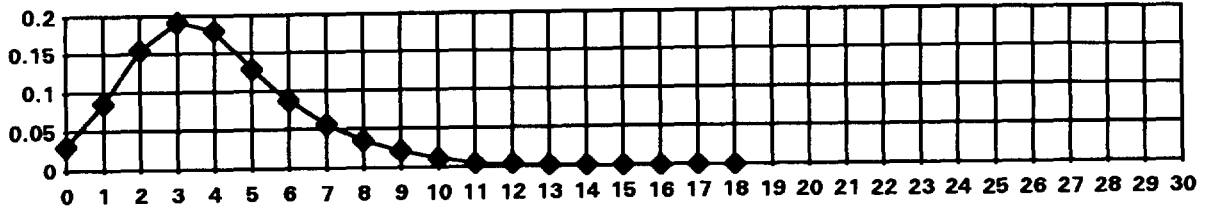


Figur 5.4.2.b Relative hyppighet for vindhastighet (FF) i m/s for vårsesongen.

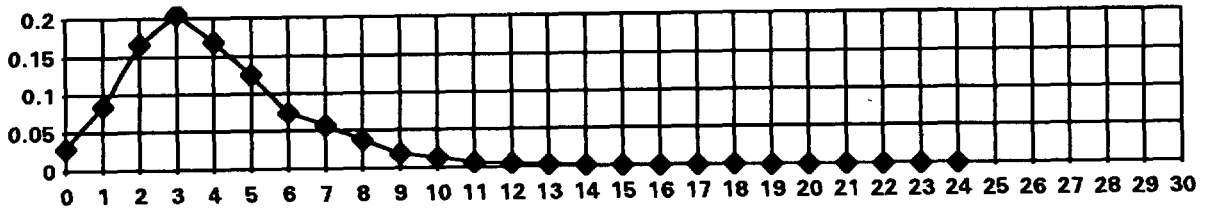
JUNI



JULI

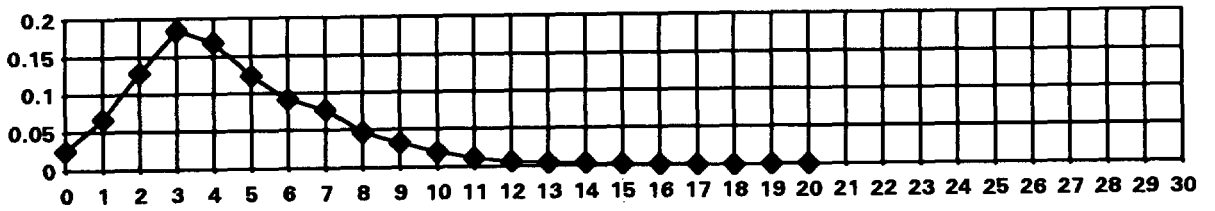


AUGUST

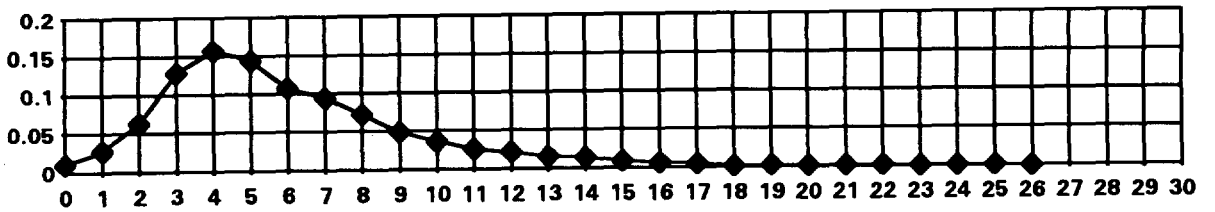


Figur 5.4.2.c Relative hyppigheter for vindhastighet (FF) i m/s for sommersesongen.

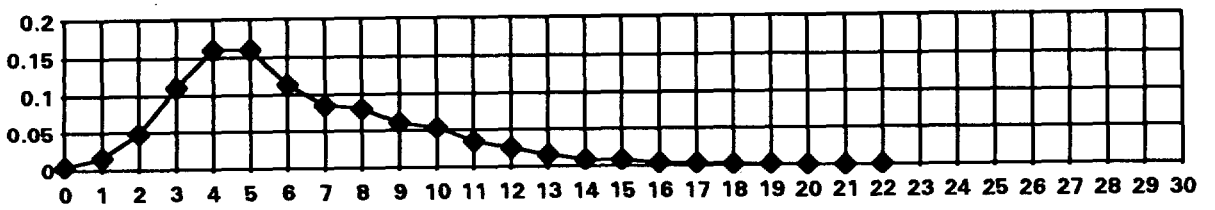
SEPTEMBER



OKTOBER



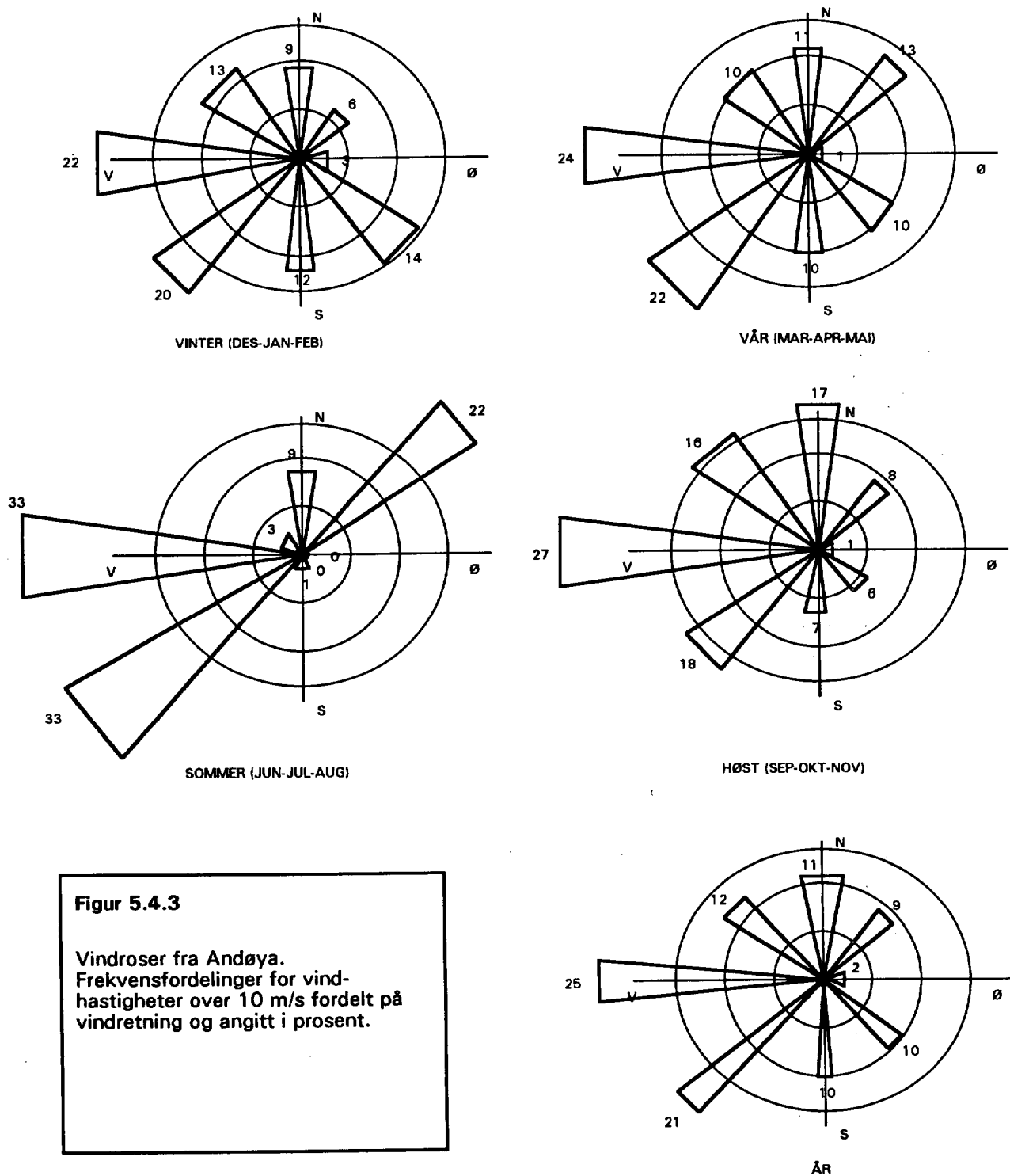
NOVEMBER



Figur 5.4.2.d Relative hyppigheter for vindhastighet (FF) i m/s for høstsesongen.

Vindrosene i figur 5.4.3 for vindhastighet over 10 m/s viser at relativ hyppighet med hensyn på vindretning er forholdsvis stabil gjennom året.

Vindretningene V og SV er sterkt markert for samtlige årstider. Vind fra SE, S, NV, N forekommer forholdsvis hyppig året rundt med unntak av sommermånedene. Sommerstid er det et relativt hyppig innslag av vind fra NE.



Figur 5.4.3

Vindroser fra Andøya.
Frekvensfordelinger for vindhastigheter over 10 m/s fordelt på vindretning og angitt i prosent.

5.5 Samvariasjon mellom skydekke og vindhastighet

For å kartlegge kombinasjonen av vind og skydekke i ulike kategorier er det utført tre serier med tabellariske analyser.

Første tabellserie beskriver frekvensfordelingen for kombinasjonen av vind og skydekke med hensyn på års- og månedsvariasjoner.

Annen tabellserie viser sesongvariasjoner for ulike vindretninger.

Siste tabellserie beskriver hyppigheter av varigheter av episoder med ulike terskelverdier satt for vind og skydekke.

5.5.1 Kryssortering

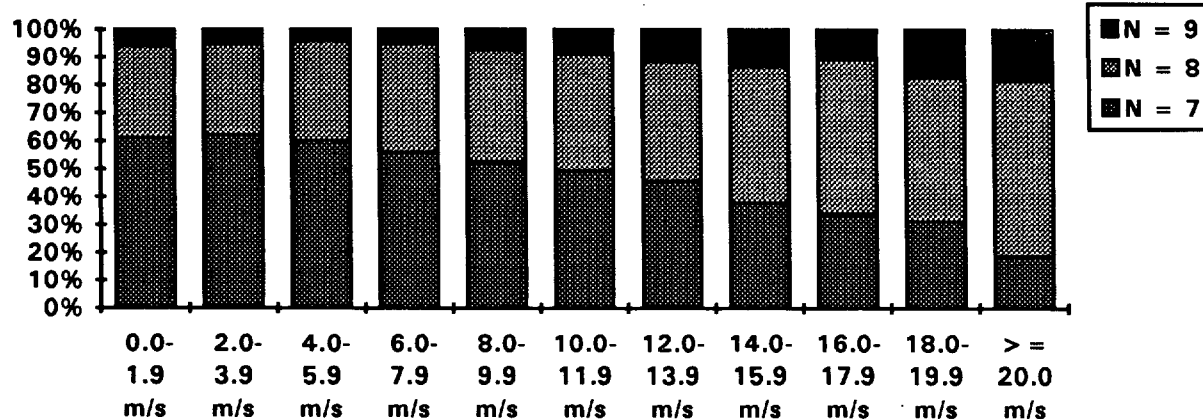
Tabell 5.5.1.1 viser den årlige samvariasjon mellom vindhastighet og skydekke. Hovedtyngden av observasjoner er samlet i tabellens øvre høyre hjørne med skyet eller overskyet vær og lave vindhastigheter. Kolonnen med vindhastigheter for skyfri himmel ($N=0$) utgjør kun 11% i forhold til situasjoner med fullstendig overskyet vær ($N=8$).

Situasjoner med under 50% skydekke ($N \leq 4$) og høye vindhastigheter ($FF \geq 16$ m/s) opptrer svært sjeldent (i 0.04% av tilfellene).

FFN	0	1	2	3	4	5	6	7	8	9	SUM
0.0- 1.9 m/s	158	631	311	346	251	270	464	1673	906	156	5166
2.0- 3.9 m/s	492	2243	1272	1240	967	1282	2070	6797	3546	547	20456
4.0- 5.9 m/s	931	3483	1649	1669	1305	1681	2554	8489	5093	536	27390
6.0- 7.9 m/s	437	1910	986	1053	777	1200	1723	5980	4183	504	18753
8.0- 9.9 m/s	217	931	495	570	469	661	1091	3926	2999	546	11905
10.0-11.9 m/s	146	398	219	227	197	312	519	2251	1884	400	6553
12.0-13.9 m/s	46	142	69	76	80	129	236	1129	1056	276	3239
14.0-15.9 m/s	6	30	20	34	28	57	100	520	670	178	1643
16.0-17.9 m/s	0	7	7	2	16	16	32	185	303	57	625
18.0-19.9 m/s	1	3	0	3	1	8	10	63	104	34	227
≥ 20.0 m/s	0	0	0	0	1	5	6	32	106	31	181
SUM	2434	9778	5028	5220	4092	5621	8805	31045	20850	3265	96138

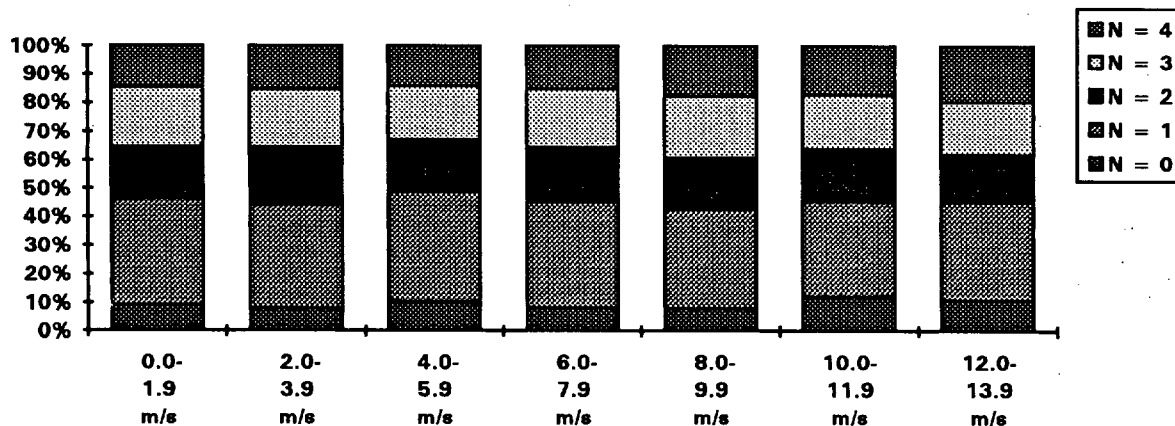
Tabell 5.5.1.1 Vindhastighet og skydekke: Helårstabell

Figur 5.5.1.2.a gir en grafisk tolkning av sammenhengen mellom vindhastighet og overskyet vær. Figuren viser hvordan skydekningen øker med økende vindhastighet.



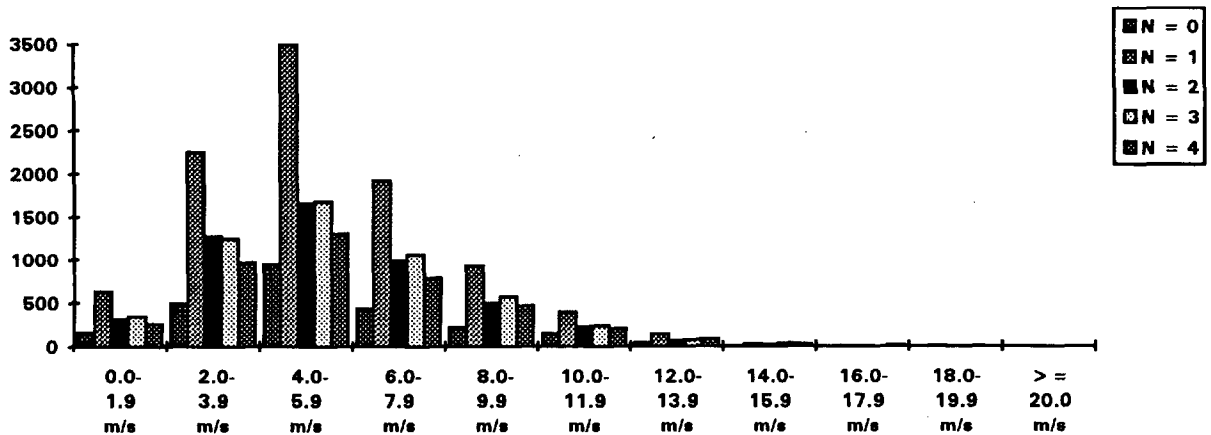
Figur 5.5.1.2.a Vindhastighet og skydekke: høye skydekkekode fordelt på vindhastigheter (årstabell).

Figur 5.5.1.2.b viser en tilsvarende klassifisering for de lavere kategorier av skydekke. For vindhastigheter under 14 m/s (vindstyrke mindre enn stiv kuling) viser tabell 5.5.1.1 en stabil fordeling mellom de forskjellige dekningskategorier. For høyere vindhastigheter er det ikke tilstrekkelig med observasjoner til å tolke tendensen.



Figur 5.5.1.2.b Vindhastighet og skydekke: lave skydekkekode fordelt på vindhastigheter (årstabell).

I figur 5.5.1.2.b ser man også at skydekkekode N=1 er dominerende. Figur 5.5.1.2.c viser en alternativ fremstilling av hyppigheter for lavere skydekke. Hver enkelt vindfunksjon i skydekningsintervallet $0 \leq N \leq 4$ har en fordeling som approksimerer vindfordelingskurven angitt i figur 5.4.1.



Figur 5.5.1.2.c Vindhastighet og skydekke: lave skydekke-koder fordelt på vindhastigheter (årstabell).

Tabellene 5.5.1.3 til 5.5.1.14 viser frekvensfordelingene for vindhastighet og skydekke fordelt månedsvis.

Det er hyppige forekomster av overskyet vær og lave vindhastigheter i sommerhalvåret, men en mer uniform distribusjon mellom skydekke og vindhastighet om vinteren som følge av vindfrekvensutviklingen (figur 5.4.2). I juni og juli kan man registrere høye konsentrasjoner av vindhastigheter i intervallet 2.0-3.9 m/s og skydekke N=7, henholdsvis 13% og 14% av tabellens registreringer.

FFAN	0	1	2	3	4	5	6	7	8	9	SUM
0.0- 1.9 m/s	4	13	7	9	2	7	12	31	17	9	111
2.0- 3.9 m/s	43	83	73	66	69	50	67	171	115	43	780
4.0- 5.9 m/s	101	308	140	136	98	123	165	419	289	71	1850
6.0- 7.9 m/s	67	246	145	133	111	127	143	432	339	110	1853
8.0- 9.9 m/s	45	148	72	98	91	78	138	443	332	114	1559
10.0-11.9 m/s	26	69	49	52	35	48	82	317	242	77	997
12.0-13.9 m/s	4	24	17	14	11	29	30	175	146	59	509
14.0-15.9 m/s	0	7	1	3	7	14	24	88	136	51	331
16.0-17.9 m/s	0	1	0	0	6	5	10	29	54	17	122
18.0-19.9 m/s	0	0	0	0	0	1	1	8	18	14	42
>=20.0 m/s	0	0	0	0	0	0	0	4	18	17	39
SUM	290	899	504	511	430	482	672	2117	1706	582	8193

Tabell 5.5.1.3 Vindhastighet og skydekke: januar

FFVN	0	1	2	3	4	5	6	7	8	9	SUM
0.0- 1.9 m/s	7	5	4	5	0	2	8	31	8	8	78
2.0- 3.9 m/s	32	88	70	43	34	36	71	202	65	41	682
4.0- 5.9 m/s	74	252	159	106	99	106	170	375	207	70	1618
6.0- 7.9 m/s	58	211	109	119	88	132	154	413	273	74	1631
8.0- 9.9 m/s	42	147	68	80	61	95	135	421	295	81	1425
10.0-11.9 m/s	41	71	37	46	45	48	81	349	236	96	1050
12.0-13.9 m/s	20	13	3	15	10	17	30	174	147	63	492
14.0-15.9 m/s	1	0	5	9	7	8	14	83	94	36	257
16.0-17.9 m/s	0	1	4	0	2	0	6	39	48	5	105
18.0-19.9 m/s	0	0	0	0	0	2	5	13	20	4	44
>=20.0 m/s	0	0	0	0	0	0	1	4	9	2	16
SUM	275	788	459	423	346	446	675	2104	1402	480	7398

Tabell 5.5.1.4 Vindhastighet og skydekke: februar

FFVN	0	1	2	3	4	5	6	7	8	9	SUM
0.0- 1.9 m/s	14	52	17	19	9	10	18	54	22	22	237
2.0- 3.9 m/s	56	172	103	87	65	72	114	296	170	63	1198
4.0- 5.9 m/s	130	423	169	177	122	148	229	603	278	82	2361
6.0- 7.9 m/s	91	312	150	128	62	118	172	510	262	88	1893
8.0- 9.9 m/s	34	150	66	52	56	48	115	352	230	94	1197
10.0-11.9 m/s	23	32	16	24	20	38	48	238	187	57	683
12.0-13.9 m/s	7	8	4	4	10	15	31	148	82	36	345
14.0-15.9 m/s	0	13	3	5	1	8	15	50	37	22	154
16.0-17.9 m/s	0	4	1	0	0	2	3	17	22	8	57
18.0-19.9 m/s	0	3	0	0	0	0	1	9	14	8	35
>=20.0 m/s	0	0	0	0	0	0	1	4	11	7	23
SUM	355	1169	529	496	345	459	747	2281	1315	487	8183

Tabell 5.5.1.5 Vindhastighet og skydekke: mars

FFVN	0	1	2	3	4	5	6	7	8	9	SUM
0.0- 1.9 m/s	10	59	39	38	23	23	40	88	42	12	374
2.0- 3.9 m/s	45	244	141	120	73	126	183	451	197	44	1624
4.0- 5.9 m/s	64	313	127	141	109	159	251	727	320	70	2281
6.0- 7.9 m/s	33	164	81	88	70	129	165	561	324	49	1664
8.0- 9.9 m/s	4	50	28	41	38	71	107	377	237	58	1011
10.0-11.9 m/s	0	0	5	9	10	26	54	210	133	24	471
12.0-13.9 m/s	0	0	0	0	6	5	17	115	91	42	276
14.0-15.9 m/s	0	0	0	1	3	5	1	61	56	18	145
16.0-17.9 m/s	0	0	0	0	0	0	0	16	22	9	47
18.0-19.9 m/s	0	0	0	0	0	0	0	9	5	1	15
>=20.0 m/s	0	0	0	0	0	0	1	2	3	1	7
SUM	156	830	421	438	332	544	819	2617	1430	328	7915

Tabell 5.5.1.6 Vindhastighet og skydekke: april

FF\N	0	1	2	3	4	5	6	7	8	9	SUM
0.0- 1.9 m/s	47	106	50	32	38	31	45	190	79	16	634
2.0- 3.9 m/s	91	245	106	115	79	123	201	725	284	42	2011
4.0- 5.9 m/s	104	281	129	120	94	141	202	895	483	25	2474
6.0- 7.9 m/s	45	139	48	68	53	99	131	615	387	8	1593
8.0- 9.9 m/s	35	46	45	42	30	46	75	331	212	4	866
10.0-11.9 m/s	7	22	15	10	13	20	17	130	119	1	354
12.0-13.9 m/s	2	24	6	2	2	3	3	40	81	1	164
14.0-15.9 m/s	0	1	1	0	0	0	1	7	32	2	44
16.0-17.9 m/s	0	0	0	0	0	1	0	4	18	0	23
18.0-19.9 m/s	0	0	0	0	0	0	0	2	0	0	2
>=20.0 m/s	0	0	0	0	0	0	0	0	1	0	1
SUM	331	864	400	389	309	464	675	2939	1696	99	8166

Tabell 5.5.1.7 Vindhastighet og skydekke: mai

FF\N	0	1	2	3	4	5	6	7	8	9	SUM
0.0- 1.9 m/s	12	63	34	26	14	22	42	181	82	7	483
2.0- 3.9 m/s	17	199	130	89	89	129	175	732	367	19	1946
4.0- 5.9 m/s	37	277	115	139	97	141	233	967	507	13	2526
6.0- 7.9 m/s	3	109	88	89	74	99	150	611	345	5	1573
8.0- 9.9 m/s	0	61	35	47	37	58	81	342	212	3	876
10.0-11.9 m/s	1	52	21	11	5	18	25	116	97	1	347
12.0-13.9 m/s	0	29	11	3	3	4	5	33	23	0	111
14.0-15.9 m/s	0	1	0	0	0	0	3	19	5	0	28
16.0-17.9 m/s	0	0	0	0	0	0	0	4	6	0	10
18.0-19.9 m/s	0	0	0	0	0	0	0	0	1	0	1
>=20.0 m/s	0	0	0	0	0	0	0	0	0	0	0
SUM	70	791	434	404	319	471	714	3005	1645	48	7901

Tabell 5.5.1.8 Vindhastighet og skydekke: juni

FF\N	0	1	2	3	4	5	6	7	8	9	SUM
0.0- 1.9 m/s	11	67	30	44	43	54	64	329	280	30	952
2.0- 3.9 m/s	15	196	122	119	98	130	250	1030	795	81	2836
4.0- 5.9 m/s	22	164	111	117	86	101	192	824	867	38	2522
6.0- 7.9 m/s	7	53	43	41	33	56	98	387	456	6	1180
8.0- 9.9 m/s	0	18	25	13	12	11	15	161	207	0	462
10.0-11.9 m/s	0	12	7	5	1	1	4	47	75	0	152
12.0-13.9 m/s	0	0	0	0	0	1	0	17	34	0	52
14.0-15.9 m/s	0	0	0	0	0	0	0	1	18	0	19
16.0-17.9 m/s	0	0	0	0	0	0	0	0	5	0	5
18.0-19.9 m/s	0	0	0	0	0	0	0	0	1	0	1
>=20.0 m/s	0	0	0	0	0	0	0	0	0	0	0
SUM	55	510	338	339	273	354	623	2796	2738	155	8181

Tabell 5.5.1.9 Vindhastighet og skydekke: juli

FF\N	0	1	2	3	4	5	6	7	8	9	SUM
0.0- 1.9 m/s	16	120	53	59	48	41	88	340	141	29	935
2.0- 3.9 m/s	37	376	191	185	128	199	305	1111	444	75	3051
4.0- 5.9 m/s	40	335	138	131	108	145	237	874	400	5	2413
6.0- 7.9 m/s	7	147	63	54	21	51	94	403	232	1	1073
8.0- 9.9 m/s	2	63	29	38	22	33	43	118	120	1	469
10.0-11.9 m/s	2	7	3	2	3	9	6	52	77	0	161
12.0-13.9 m/s	0	2	3	3	0	0	5	27	24	1	65
14.0-15.9 m/s	0	0	0	0	0	0	3	8	8	0	19
16.0-17.9 m/s	0	0	1	0	0	0	1	6	3	0	11
18.0-19.9 m/s	0	0	0	0	0	0	0	2	1	0	3
> =20.0 m/s	0	0	0	0	0	0	0	0	1	0	1
SUM	104	1050	481	472	330	478	782	2941	1451	112	8201

Tabell 5.5.1.10 Vindhastighet og skydekke: august

FF\N	0	1	2	3	4	5	6	7	8	9	SUM
0.0- 1.9 m/s	25	94	47	70	31	38	77	238	108	0	728
2.0- 3.9 m/s	39	267	131	177	141	173	279	870	364	14	2455
4.0- 5.9 m/s	52	213	106	127	129	167	256	865	375	13	2303
6.0- 7.9 m/s	14	87	59	71	52	99	134	506	306	3	1331
8.0- 9.9 m/s	1	21	7	11	27	41	56	276	178	3	621
10.0-11.9 m/s	0	5	3	2	8	6	24	105	99	0	252
12.0-13.9 m/s	1	0	1	3	5	2	7	34	34	0	87
14.0-15.9 m/s	0	0	0	0	0	0	1	17	25	0	43
16.0-17.9 m/s	0	0	0	0	1	0	1	5	8	0	15
18.0-19.9 m/s	0	0	0	0	0	0	0	1	1	0	2
> =20.0 m/s	0	0	0	0	0	0	0	2	0	0	2
SUM	132	687	354	461	394	526	835	2919	1498	33	7839

Tabell 5.5.1.11 Vindhastighet og skydekke: september

FF\N	0	1	2	3	4	5	6	7	8	9	SUM
0.0- 1.9 m/s	6	19	13	23	22	18	33	97	81	0	312
2.0- 3.9 m/s	43	131	55	86	63	108	197	538	336	15	1572
4.0- 5.9 m/s	100	203	129	139	104	152	212	812	606	8	2465
6.0- 7.9 m/s	49	99	57	59	56	91	160	610	455	16	1652
8.0- 9.9 m/s	18	38	23	31	32	46	93	370	320	17	988
10.0-11.9 m/s	0	13	7	5	11	25	59	190	184	14	508
12.0-13.9 m/s	0	5	1	5	8	14	25	120	121	6	305
14.0-15.9 m/s	0	1	2	1	3	4	11	65	101	3	191
16.0-17.9 m/s	0	0	0	0	5	3	8	32	45	3	96
18.0-19.9 m/s	0	0	0	0	0	2	3	8	25	1	39
> =20.0 m/s	0	0	0	0	0	1	1	6	43	1	52
SUM	216	509	287	349	304	464	802	2848	2317	84	8180

Tabell 5.5.1.12 Vindhastighet og skydekke: oktober

FF\N	0	1	2	3	4	5	6	7	8	9	SUM
0.0- 1.9 m/s	3	22	8	11	9	15	20	40	21	5	154
2.0- 3.9 m/s	28	134	90	89	68	82	125	375	236	40	1267
4.0- 5.9 m/s	124	397	186	190	155	155	209	609	449	65	2539
6.0- 7.9 m/s	36	141	73	105	71	98	143	463	397	50	1577
8.0- 9.9 m/s	10	87	37	62	32	64	88	366	319	63	1128
10.0-11.9 m/s	7	37	20	26	23	32	46	251	207	48	697
12.0-13.9 m/s	1	9	9	13	8	11	35	106	114	20	326
14.0-15.9 m/s	0	2	3	5	0	6	8	47	52	16	139
16.0-17.9 m/s	0	0	1	2	1	1	1	19	25	5	55
18.0-19.9 m/s	1	0	0	0	0	1	0	6	10	5	23
> =20.0 m/s	0	0	0	0	1	1	1	3	3	0	9
SUM	210	829	427	503	368	466	676	2285	1833	317	7914

Tabell 5.5.1.13 Vindhastighet og skydekke: november

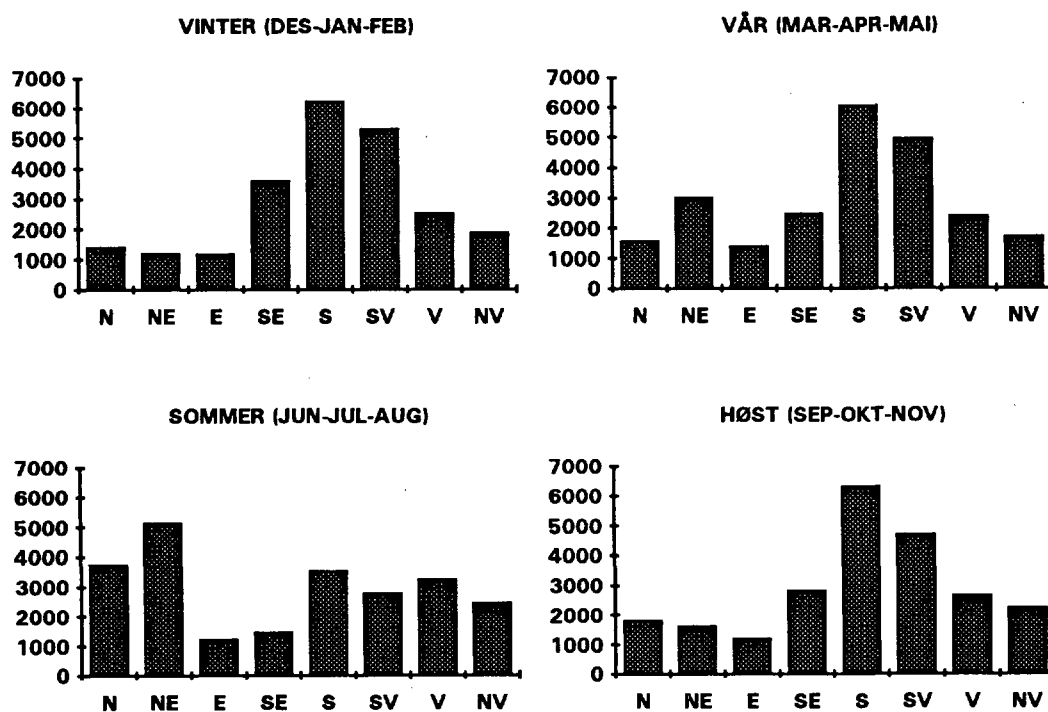
FF\N	0	1	2	3	4	5	6	7	8	9	SUM
0.0- 1.9 m/s	3	11	9	10	12	9	17	54	25	18	168
2.0- 3.9 m/s	46	108	60	64	60	54	103	296	173	70	1034
4.0- 5.9 m/s	83	317	140	146	104	143	198	519	312	76	2038
6.0- 7.9 m/s	27	202	70	98	86	101	179	469	407	94	1733
8.0- 9.9 m/s	26	102	60	55	31	70	145	369	337	108	1303
10.0-11.9 m/s	39	78	36	35	23	41	73	246	228	82	881
12.0-13.9 m/s	11	28	14	14	17	28	48	140	159	48	507
14.0-15.9 m/s	5	5	5	10	7	12	19	74	106	30	273
16.0-17.9 m/s	0	1	0	0	1	4	2	14	47	10	79
18.0-19.9 m/s	0	0	0	3	1	2	0	5	8	1	20
> =20.0 m/s	0	0	0	0	0	3	1	7	17	3	31
SUM	240	852	394	435	342	467	785	2193	1819	540	8067

Tabell 5.5.1.14 Vindhastighet og skydekke: desember

5.5.2 Kryssortering for ulike vindretningssektorer

Tabellene 5.5.2.1 til 5.5.2.32 beskriver samvariasjon mellom skydekke og vindhastighet for ulike vindretningssektorer og til ulike årstider.

Populasjonene som danner utgangspunkt for hver tabell blir sterkt varierende i antall, distribuert noenlunde i henhold til vindrosene (figur 5.3.4). Figur 5.5.2.0 sammenlikner populasjonsstørrelsen for hver vindretning innenfor hver enkelt sesong.



Figur 5.5.2.0 Populasjonsstørrelse i tabeller for sektorbestemt frekvensstatistikk.

FFN	0	1	2	3	4	5	6	7	8	9	SUM
0.0- 1.9 m/s	0	1	0	0	0	1	4	8	3	1	18
2.0- 3.9 m/s	0	2	4	4	7	11	14	38	15	14	109
4.0- 5.9 m/s	0	2	6	15	14	19	34	60	36	16	202
6.0- 7.9 m/s	0	0	5	16	22	34	43	89	46	23	278
8.0- 9.9 m/s	0	1	1	17	10	19	50	108	52	25	283
10.0-11.9 m/s	0	5	2	11	10	18	25	76	35	45	227
12.0-13.9 m/s	0	0	0	4	3	9	19	56	30	30	151
14.0-15.9 m/s	0	0	1	2	0	3	2	22	18	26	74
16.0-17.9 m/s	0	0	0	0	0	0	0	7	6	13	26
18.0-19.9 m/s	0	0	0	0	0	0	0	3	1	6	10
> =20.0 m/s	0	0	0	0	0	0	0	0	1	4	5
SUM	0	11	19	69	66	114	191	467	243	203	1383

Tabell 5.5.2.1 Retning N, vinter (des-jan-feb)

FF\N	0	1	2	3	4	5	6	7	8	9	SUM
0.0- 1.9 m/s	0	0	0	2	0	2	1	4	2	1	12
2.0- 3.9 m/s	2	10	5	9	7	3	14	19	9	7	85
4.0- 5.9 m/s	2	17	15	11	16	15	28	62	17	16	199
6.0- 7.9 m/s	0	27	15	19	15	24	40	67	42	19	268
8.0- 9.9 m/s	1	14	7	9	25	24	37	87	49	19	272
10.0-11.9 m/s	1	10	5	14	14	15	19	70	36	9	193
12.0-13.9 m/s	2	2	3	4	5	10	6	23	24	11	90
14.0-15.9 m/s	0	0	1	0	1	1	2	13	4	16	38
16.0-17.9 m/s	0	0	3	0	1	0	0	2	2	5	13
18.0-19.9 m/s	0	0	0	0	0	0	0	0	1	0	1
>=20.0 m/s	0	0	0	0	0	0	0	0	0	1	1
SUM	8	80	54	68	84	94	147	347	186	104	1172

Tabell 5.5.2.2 Retning NE, vinter (des-jan-feb)

FF\N	0	1	2	3	4	5	6	7	8	9	SUM
0.0- 1.9 m/s	1	1	1	0	0	1	1	3	4	0	12
2.0- 3.9 m/s	5	16	6	8	6	4	13	39	14	4	115
4.0- 5.9 m/s	11	109	23	29	17	29	23	53	25	6	325
6.0- 7.9 m/s	5	100	25	29	25	20	14	35	20	6	279
8.0- 9.9 m/s	10	53	27	21	11	12	13	32	12	8	199
10.0-11.9 m/s	16	37	21	10	9	13	11	17	16	2	152
12.0-13.9 m/s	7	9	7	3	0	1	0	14	10	0	51
14.0-15.9 m/s	4	0	1	3	0	0	0	7	0	0	15
16.0-17.9 m/s	0	0	0	0	0	0	0	0	0	0	0
18.0-19.9 m/s	0	0	0	0	0	0	0	0	0	0	0
>=20.0 m/s	0	0	0	0	0	0	0	0	0	0	0
SUM	59	325	111	103	68	80	75	200	101	26	1148

Tabell 5.5.2.3 Retning E, vinter (des-jan-feb)

FF\N	0	1	2	3	4	5	6	7	8	9	SUM
0.0- 1.9 m/s	4	5	2	2	0	0	2	11	4	1	31
2.0- 3.9 m/s	12	42	19	13	12	10	9	43	25	5	190
4.0- 5.9 m/s	32	165	68	52	42	40	50	98	42	8	597
6.0- 7.9 m/s	28	220	81	60	48	59	74	176	93	21	860
8.0- 9.9 m/s	63	226	79	74	41	45	74	221	104	28	955
10.0-11.9 m/s	63	134	48	38	24	30	37	137	84	25	620
12.0-13.9 m/s	20	41	12	10	8	6	11	64	36	15	223
14.0-15.9 m/s	1	9	1	2	4	2	10	27	18	5	79
16.0-17.9 m/s	0	1	1	0	0	0	3	4	6	0	15
18.0-19.9 m/s	0	0	0	0	0	0	1	1	0	0	2
>=20.0 m/s	0	0	0	0	0	0	0	0	0	0	0
SUM	223	843	311	251	179	192	271	782	412	108	3572

Tabell 5.5.2.4 Retning SE, vinter (des-jan-feb)

FF\N	0	1	2	3	4	5	6	7	8	9	SUM
0.0- 1.9 m/s	1	4	0	1	1	3	2	8	9	6	35
2.0- 3.9 m/s	40	63	42	29	35	22	53	179	111	40	614
4.0- 5.9 m/s	127	339	151	126	103	118	171	467	327	45	1974
6.0- 7.9 m/s	99	214	120	117	81	106	144	437	344	81	1743
8.0- 9.9 m/s	32	78	50	52	53	64	104	281	239	81	1034
10.0-11.9 m/s	21	28	33	27	19	23	42	138	140	47	518
12.0-13.9 m/s	3	9	8	5	3	7	9	47	69	28	188
14.0-15.9 m/s	1	1	2	4	1	5	3	11	42	11	81
16.0-17.9 m/s	0	1	0	0	2	2	1	3	16	1	26
18.0-19.9 m/s	0	0	0	0	0	0	0	0	1	0	1
>=20.0 m/s	0	0	0	0	0	0	0	0	0	0	0
SUM	324	737	406	361	298	350	529	1571	1298	340	6214

Tabell 5.5.2.5 Retning S, vinter (des-jan-feb)

FF\N	0	1	2	3	4	5	6	7	8	9	SUM
0.0- 1.9 m/s	2	8	3	3	2	0	5	23	10	4	60
2.0- 3.9 m/s	46	106	90	71	63	48	93	205	123	36	881
4.0- 5.9 m/s	82	234	158	126	77	90	135	364	227	64	1557
6.0- 7.9 m/s	19	90	64	79	57	64	81	279	284	58	1075
8.0- 9.9 m/s	3	14	24	31	18	36	49	177	247	55	654
10.0-11.9 m/s	1	1	3	10	8	11	30	156	200	51	471
12.0-13.9 m/s	0	0	1	8	4	6	16	74	127	23	259
14.0-15.9 m/s	0	0	2	3	3	7	13	47	105	16	196
16.0-17.9 m/s	0	0	0	0	3	2	4	21	48	2	80
18.0-19.9 m/s	0	0	0	1	0	2	3	10	20	0	36
>=20.0 m/s	0	0	0	0	0	0	1	4	13	0	18
SUM	153	453	345	332	235	266	430	1360	1404	309	5287

Tabell 5.5.2.6 Retning SV, vinter (des-jan-feb)

FF\N	0	1	2	3	4	5	6	7	8	9	SUM
0.0- 1.9 m/s	2	3	3	2	3	2	4	17	1	3	40
2.0- 3.9 m/s	11	28	25	27	15	22	28	86	28	20	290
4.0- 5.9 m/s	1	6	7	12	11	22	44	94	66	30	293
6.0- 7.9 m/s	0	3	1	12	11	25	37	113	105	26	333
8.0- 9.9 m/s	0	8	4	8	9	20	40	169	146	33	437
10.0-11.9 m/s	0	0	0	10	8	12	35	161	125	33	384
12.0-13.9 m/s	0	0	0	7	9	20	18	116	106	19	295
14.0-15.9 m/s	0	0	0	3	5	8	12	76	121	13	238
16.0-17.9 m/s	0	1	0	0	0	2	6	38	60	5	112
18.0-19.9 m/s	0	0	0	2	1	2	1	7	18	7	38
>=20.0 m/s	0	0	0	0	0	2	0	9	25	7	43
SUM	14	49	40	83	72	137	225	886	801	196	2503

Tabell 5.5.2.7 Retning V, vinter (des-jan-feb)

FFAN	0	1	2	3	4	5	6	7	8	9	SUM
0.0- 1.9 m/s	0	0	1	1	0	1	3	12	5	5	28
2.0- 3.9 m/s	0	4	5	8	10	14	13	51	24	21	150
4.0- 5.9 m/s	0	0	5	13	15	32	42	108	61	26	302
6.0- 7.9 m/s	0	0	6	12	19	20	36	113	81	37	324
8.0- 9.9 m/s	0	0	2	14	11	16	44	151	110	46	394
10.0-11.9 m/s	0	1	5	6	6	11	30	151	64	37	311
12.0-13.9 m/s	0	1	0	0	2	10	23	90	44	37	207
14.0-15.9 m/s	0	0	1	2	5	3	11	38	23	27	110
16.0-17.9 m/s	0	0	0	0	1	0	1	5	6	2	15
18.0-19.9 m/s	0	0	0	0	0	0	0	2	2	4	8
> =20.0 m/s	0	0	0	0	0	0	0	1	4	9	14
SUM	0	6	25	56	69	107	203	722	424	251	1863

Tabell 5.5.2.8 Retning NV, vinter (des-jan-feb)

FF\N	0	1	2	3	4	5	6	7	8	9	SUM
0.0- 1.9 m/s	0	14	7	6	3	0	8	24	4	2	68
2.0- 3.9 m/s	16	27	13	16	21	12	38	143	42	12	340
4.0- 5.9 m/s	4	11	14	18	20	28	35	133	81	21	365
6.0- 7.9 m/s	1	6	12	17	8	25	36	121	65	17	308
8.0- 9.9 m/s	0	3	1	8	9	20	29	95	35	19	219
10.0-11.9 m/s	0	1	0	3	1	6	20	56	22	10	119
12.0-13.9 m/s	0	0	0	0	4	3	9	47	13	13	89
14.0-15.9 m/s	0	0	0	1	0	1	2	20	9	6	39
16.0-17.9 m/s	0	0	0	0	0	0	0	5	3	5	13
18.0-19.9 m/s	0	0	0	0	0	0	0	3	3	0	6
> =20.0 m/s	0	0	0	0	0	0	0	0	0	4	4
SUM	21	62	47	69	66	95	177	647	277	109	1570

Tabell 5.5.2.9 Retning N, vår (mar-apr-mai)

FF\N	0	1	2	3	4	5	6	7	8	9	SUM
0.0- 1.9 m/s	3	16	15	1	3	4	9	26	8	4	89
2.0- 3.9 m/s	30	83	44	38	28	30	55	145	54	24	531
4.0- 5.9 m/s	36	178	82	62	60	62	60	172	68	11	791
6.0- 7.9 m/s	27	153	71	53	56	66	51	161	59	6	703
8.0- 9.9 m/s	25	65	52	52	22	39	53	127	33	13	481
10.0-11.9 m/s	2	20	16	13	13	27	30	76	40	1	238
12.0-13.9 m/s	2	23	6	2	1	3	7	33	22	8	107
14.0-15.9 m/s	0	1	1	1	1	2	4	13	14	4	41
16.0-17.9 m/s	0	0	0	0	0	0	0	0	1	0	1
18.0-19.9 m/s	0	0	0	0	0	0	0	0	1	1	2
> =20.0 m/s	0	0	0	0	0	0	0	0	3	3	6
SUM	125	539	287	222	184	233	269	753	303	75	2990

Tabell 5.5.2.10 Retning NE, vår (mar-apr-mai)

FF\N	0	1	2	3	4	5	6	7	8	9	SUM
0.0- 1.9 m/s	4	7	6	8	3	4	10	17	5	3	67
2.0- 3.9 m/s	22	74	21	28	14	20	35	81	33	7	335
4.0- 5.9 m/s	22	150	34	33	16	23	24	97	30	1	430
6.0- 7.9 m/s	31	113	29	19	17	21	17	59	28	3	337
8.0- 9.9 m/s	18	40	19	9	12	4	9	43	23	0	177
10.0-11.9 m/s	8	11	2	2	3	2	1	6	3	1	39
12.0-13.9 m/s	1	0	0	0	1	0	0	4	3	0	9
14.0-15.9 m/s	0	0	0	0	0	0	0	0	0	0	0
16.0-17.9 m/s	0	0	0	0	0	0	0	0	0	0	0
18.0-19.9 m/s	0	0	0	0	0	0	0	0	0	0	0
> =20.0 m/s	0	0	0	0	0	0	0	0	0	0	0
SUM	106	395	111	99	66	74	96	307	125	15	1394

Tabell 5.5.2.11 Retning E, vår (mar-apr-mai)

FF\N	0	1	2	3	4	5	6	7	8	9	SUM
0.0- 1.9 m/s	2	11	4	1	10	4	5	25	11	7	80
2.0- 3.9 m/s	25	81	35	33	14	24	40	77	37	13	379
4.0- 5.9 m/s	51	149	45	37	27	38	50	168	69	14	648
6.0- 7.9 m/s	59	157	51	53	19	50	48	150	58	14	659
8.0- 9.9 m/s	19	89	31	32	26	22	46	97	51	13	426
10.0-11.9 m/s	16	17	8	7	9	8	11	43	20	3	142
12.0-13.9 m/s	5	7	1	0	2	8	6	37	5	4	75
14.0-15.9 m/s	0	9	1	1	0	3	3	5	3	6	31
16.0-17.9 m/s	0	3	0	0	0	1	0	3	1	1	9
18.0-19.9 m/s	0	2	0	0	0	0	0	0	0	0	2
> =20.0 m/s	0	0	0	0	0	0	0	0	0	0	0
SUM	177	525	176	164	107	158	209	605	255	75	2451

Tabell 5.5.2.12 Retning SE, vår (mar-apr-mai)

FF\N	0	1	2	3	4	5	6	7	8	9	SUM
0.0- 1.9 m/s	9	23	6	19	10	12	15	35	30	2	161
2.0- 3.9 m/s	52	197	97	85	51	100	130	395	195	31	1333
4.0- 5.9 m/s	137	335	150	153	100	155	234	724	394	43	2425
6.0- 7.9 m/s	35	138	62	70	35	83	121	421	274	34	1273
8.0- 9.9 m/s	7	32	14	14	19	27	42	202	152	31	540
10.0-11.9 m/s	1	2	1	5	4	11	9	95	79	17	224
12.0-13.9 m/s	0	0	1	1	1	1	6	16	28	10	64
14.0-15.9 m/s	0	3	1	1	0	1	1	6	4	2	19
16.0-17.9 m/s	0	0	0	0	0	0	0	3	1	0	4
18.0-19.9 m/s	0	0	0	0	0	0	0	0	0	0	0
> =20.0 m/s	0	0	0	0	0	0	0	0	0	0	0
SUM	241	730	332	348	220	390	558	1897	1157	170	6043

Tabell 5.5.2.13 Retning S, vår (mar-apr-mai)

FF\N	0	1	2	3	4	5	6	7	8	9	SUM
0.0- 1.9 m/s	8	40	9	12	7	7	13	52	15	6	169
2.0- 3.9 m/s	32	144	81	84	57	78	112	341	144	25	1098
4.0- 5.9 m/s	44	177	84	103	70	94	167	485	251	35	1510
6.0- 7.9 m/s	11	39	38	48	29	49	116	377	276	34	1017
8.0- 9.9 m/s	1	12	12	8	16	21	47	209	193	37	556
10.0-11.9 m/s	0	0	2	6	0	10	10	113	149	16	306
12.0-13.9 m/s	0	0	1	2	1	3	7	57	85	15	171
14.0-15.9 m/s	0	0	1	1	1	0	1	23	33	3	63
16.0-17.9 m/s	0	0	0	0	0	1	2	7	17	2	29
18.0-19.9 m/s	0	0	0	0	0	0	0	8	4	0	12
> =20.0 m/s	0	0	0	0	0	0	0	1	3	0	4
SUM	96	412	228	264	181	263	475	1673	1170	173	4935

Tabell 5.5.2.14 Retning SV, vår (mar-apr-mai)

FF\N	0	1	2	3	4	5	6	7	8	9	SUM
0.0- 1.9 m/s	6	18	9	4	5	6	8	24	10	6	96
2.0- 3.9 m/s	0	27	33	12	16	35	49	134	67	16	389
4.0- 5.9 m/s	0	9	6	13	18	23	59	271	105	28	532
6.0- 7.9 m/s	1	2	10	10	6	25	39	210	111	14	428
8.0- 9.9 m/s	0	0	3	2	11	11	34	159	109	22	351
10.0-11.9 m/s	0	0	1	3	6	7	19	109	84	18	247
12.0-13.9 m/s	0	0	0	0	4	0	9	67	78	13	171
14.0-15.9 m/s	0	0	0	0	1	2	4	33	45	7	92
16.0-17.9 m/s	0	0	1	0	0	0	0	11	31	3	46
18.0-19.9 m/s	0	0	0	0	0	0	0	6	10	4	20
> =20.0 m/s	0	0	0	0	0	0	1	5	8	0	14
SUM	7	56	63	44	67	109	222	1029	658	131	2386

Tabell 5.5.2.15 Retning V, vår (mar-apr-mai)

FF\N	0	1	2	3	4	5	6	7	8	9	SUM
0.0- 1.9 m/s	4	10	9	2	2	3	7	22	12	3	74
2.0- 3.9 m/s	8	24	21	21	9	16	34	150	74	13	370
4.0- 5.9 m/s	0	2	5	11	10	18	47	169	77	19	358
6.0- 7.9 m/s	0	1	2	7	11	21	33	180	96	19	370
8.0- 9.9 m/s	0	1	2	5	4	16	31	124	79	17	279
10.0-11.9 m/s	0	0	1	0	1	7	15	73	38	11	146
12.0-13.9 m/s	0	0	0	0	1	1	1	35	16	10	64
14.0-15.9 m/s	0	0	0	0	0	0	0	14	12	9	35
16.0-17.9 m/s	0	0	0	0	0	0	0	3	3	3	9
18.0-19.9 m/s	0	0	0	0	0	0	0	1	0	4	5
> =20.0 m/s	0	0	0	0	0	0	0	0	0	0	0
SUM	12	38	40	46	38	82	168	771	407	108	1710

Tabell 5.5.2.16 Retning NV, vår (mar-apr-mai)

FF\N	0	1	2	3	4	5	6	7	8	9	SUM
0.0- 1.9 m/s	4	31	16	9	13	15	20	85	47	16	256
2.0- 3.9 m/s	4	111	67	73	64	75	103	443	286	77	1303
4.0- 5.9 m/s	5	98	68	69	37	63	93	403	391	32	1259
6.0- 7.9 m/s	0	31	37	23	21	25	46	190	189	1	563
8.0- 9.9 m/s	0	18	10	14	10	13	22	87	88	0	262
10.0-11.9 m/s	0	7	2	1	0	3	2	13	22	0	50
12.0-13.9 m/s	0	5	2	0	0	0	0	3	14	0	24
14.0-15.9 m/s	0	0	0	0	0	0	0	0	4	0	4
16.0-17.9 m/s	0	0	0	0	0	0	0	0	0	0	0
18.0-19.9 m/s	0	0	0	0	0	0	0	0	0	0	0
>=20.0 m/s	0	0	0	0	0	0	0	0	0	0	0
SUM	13	301	202	189	145	194	286	1224	1041	126	3721

Tabell 5.5.2.17 Retning N, sommer (jun-jul-aug)

FF\N	0	1	2	3	4	5	6	7	8	9	SUM
0.0- 1.9 m/s	3	28	13	16	6	14	30	105	54	13	282
2.0- 3.9 m/s	14	213	107	72	68	92	134	396	148	48	1292
4.0- 5.9 m/s	18	296	122	119	90	116	142	326	188	10	1427
6.0- 7.9 m/s	7	216	114	108	72	100	111	275	160	4	1167
8.0- 9.9 m/s	2	119	69	72	51	55	48	164	109	0	689
10.0-11.9 m/s	2	64	29	16	4	17	11	43	38	0	224
12.0-13.9 m/s	0	25	11	2	2	0	2	3	2	0	47
14.0-15.9 m/s	0	0	0	0	0	0	0	0	0	0	0
16.0-17.9 m/s	0	0	0	0	0	0	0	0	0	0	0
18.0-19.9 m/s	0	0	0	0	0	0	0	0	0	0	0
>=20.0 m/s	0	0	0	0	0	0	0	0	0	0	0
SUM	46	961	465	405	293	394	478	1312	699	75	5128

Tabell 5.5.2.18 Retning NE, sommer (jun-jul-aug)

FF\N	0	1	2	3	4	5	6	7	8	9	SUM
0.0- 1.9 m/s	4	9	8	4	9	11	10	74	49	5	183
2.0- 3.9 m/s	9	89	45	47	30	40	66	205	87	8	626
4.0- 5.9 m/s	11	72	24	18	15	16	24	79	27	0	286
6.0- 7.9 m/s	1	19	7	5	5	1	10	31	4	0	83
8.0- 9.9 m/s	0	0	2	2	1	1	1	3	0	0	10
10.0-11.9 m/s	0	0	0	0	0	0	0	2	0	0	2
12.0-13.9 m/s	0	0	0	0	0	0	0	0	0	0	0
14.0-15.9 m/s	0	0	0	0	0	0	0	0	0	0	0
16.0-17.9 m/s	0	0	0	0	0	0	0	0	0	0	0
18.0-19.9 m/s	0	0	0	0	0	0	0	0	0	0	0
>=20.0 m/s	0	0	0	0	0	0	0	0	0	0	0
SUM	25	189	86	76	60	69	111	394	167	13	1190

Tabell 5.5.2.19 Retning E, sommer (jun-jul-aug)

FF\N	0	1	2	3	4	5	6	7	8	9	SUM
0.0- 1.9 m/s	0	17	6	12	9	4	17	68	32	2	167
2.0- 3.9 m/s	11	95	47	43	30	44	74	235	71	5	655
4.0- 5.9 m/s	28	99	40	38	24	26	50	104	37	0	446
6.0- 7.9 m/s	5	19	8	18	3	4	18	43	21	0	139
8.0- 9.9 m/s	0	1	1	0	1	0	2	6	6	0	17
10.0-11.9 m/s	0	0	0	0	0	0	1	0	0	0	1
12.0-13.9 m/s	0	0	0	0	0	0	0	0	0	0	0
14.0-15.9 m/s	0	0	0	0	0	0	0	0	0	0	0
16.0-17.9 m/s	0	0	0	0	0	0	0	0	0	0	0
18.0-19.9 m/s	0	0	0	0	0	0	0	0	0	0	0
> =20.0 m/s	0	0	0	0	0	0	0	0	0	0	0
SUM	44	231	102	111	67	78	162	456	167	7	1425

Tabell 5.5.2.20 Retning SE, sommer (jun-jul-aug)

FF\N	0	1	2	3	4	5	6	7	8	9	SUM
0.0- 1.9 m/s	3	16	10	11	11	17	16	81	52	3	220
2.0- 3.9 m/s	17	137	74	67	49	75	140	534	288	4	1385
4.0- 5.9 m/s	34	160	71	78	55	63	135	470	335	1	1402
6.0- 7.9 m/s	3	13	7	13	8	18	20	146	129	0	357
8.0- 9.9 m/s	0	0	0	5	1	4	7	57	52	1	127
10.0-11.9 m/s	1	0	0	0	0	1	2	9	12	0	25
12.0-13.9 m/s	0	0	0	0	0	0	0	1	0	0	1
14.0-15.9 m/s	0	0	0	0	0	0	0	0	0	0	0
16.0-17.9 m/s	0	0	0	0	0	0	0	0	0	0	0
18.0-19.9 m/s	0	0	0	0	0	0	0	0	0	0	0
> =20.0 m/s	0	0	0	0	0	0	0	0	0	0	0
SUM	58	326	162	174	124	178	320	1298	868	9	3517

Tabell 5.5.2.21 Retning S, sommer (jun-jul-aug)

FF\N	0	1	2	3	4	5	6	7	8	9	SUM
0.0- 1.9 m/s	2	17	6	13	9	7	10	51	37	1	153
2.0- 3.9 m/s	5	39	26	30	26	41	66	271	189	1	694
4.0- 5.9 m/s	0	14	9	14	17	21	50	370	249	0	744
6.0- 7.9 m/s	0	2	5	3	2	20	37	270	242	0	581
8.0- 9.9 m/s	0	0	0	1	4	10	22	132	135	1	305
10.0-11.9 m/s	0	0	0	0	1	2	9	74	98	0	184
12.0-13.9 m/s	0	0	0	0	0	3	6	26	31	1	67
14.0-15.9 m/s	0	0	0	0	0	0	3	15	15	0	33
16.0-17.9 m/s	0	0	0	0	0	0	0	3	6	0	9
18.0-19.9 m/s	0	0	0	0	0	0	0	0	0	0	0
> =20.0 m/s	0	0	0	0	0	0	0	0	0	0	0
SUM	7	72	46	61	59	104	203	1212	1002	4	2770

Tabell 5.5.2.22 Retning SV, sommer (jun-jul-aug)

FF\N	0	1	2	3	4	5	6	7	8	9	SUM
0.0- 1.9 m/s	3	30	12	9	12	2	17	79	43	0	207
2.0- 3.9 m/s	2	26	16	20	19	31	73	389	241	3	820
4.0- 5.9 m/s	0	12	12	14	20	38	101	507	271	1	976
6.0- 7.9 m/s	0	2	6	4	10	24	62	335	200	1	644
8.0- 9.9 m/s	0	2	4	1	2	17	25	141	128	1	321
10.0-11.9 m/s	0	0	0	0	1	3	8	64	73	1	150
12.0-13.9 m/s	0	0	0	1	0	1	1	37	30	0	70
14.0-15.9 m/s	0	0	0	0	0	0	2	12	11	0	25
16.0-17.9 m/s	0	0	0	0	0	0	0	6	6	0	12
18.0-19.9 m/s	0	0	0	0	0	0	0	1	2	0	3
> =20.0 m/s	0	0	0	0	0	0	0	0	1	0	1
SUM	5	72	50	49	64	116	289	1571	1006	7	3229

Tabell 5.5.2.23 Retning V, sommer (jun-jul-aug)

FF\N	0	1	2	3	4	5	6	7	8	9	SUM
0.0- 1.9 m/s	5	20	14	13	10	7	23	91	57	7	247
2.0- 3.9 m/s	1	57	54	35	22	54	70	394	290	25	1002
4.0- 5.9 m/s	0	18	14	32	28	37	63	397	271	11	871
6.0- 7.9 m/s	0	3	5	6	2	9	32	105	83	4	249
8.0- 9.9 m/s	0	0	1	0	0	0	6	27	16	1	51
10.0-11.9 m/s	0	0	0	0	0	0	1	7	4	0	12
12.0-13.9 m/s	0	0	0	1	0	0	0	3	3	0	7
14.0-15.9 m/s	0	0	0	0	0	0	0	0	0	0	0
16.0-17.9 m/s	0	0	0	0	0	0	0	0	0	0	0
18.0-19.9 m/s	0	0	0	0	0	0	0	0	0	0	0
> =20.0 m/s	0	0	0	0	0	0	0	0	0	0	0
SUM	6	98	88	87	62	107	195	1024	724	48	2439

Tabell 5.5.2.24 Retning NV, sommer (jun-jul-aug)

FF\N	0	1	2	3	4	5	6	7	8	9	SUM
0.0- 1.9 m/s	2	4	3	11	10	3	4	14	13	0	64
2.0- 3.9 m/s	0	3	5	19	12	30	37	110	53	6	275
4.0- 5.9 m/s	2	4	7	18	13	28	46	153	71	10	352
6.0- 7.9 m/s	0	4	6	11	11	34	61	146	86	9	368
8.0- 9.9 m/s	0	0	6	14	16	28	39	132	56	15	306
10.0-11.9 m/s	0	0	1	8	9	16	29	86	49	13	211
12.0-13.9 m/s	1	1	1	7	2	6	12	47	27	13	117
14.0-15.9 m/s	0	0	0	0	1	1	6	17	21	12	58
16.0-17.9 m/s	0	0	0	0	1	0	2	7	12	6	28
18.0-19.9 m/s	0	0	0	0	0	0	0	0	7	3	10
>=20.0 m/s	0	0	0	0	0	0	0	0	16	1	17
SUM	5	16	29	88	75	146	236	712	411	88	1806

Tabell 5.5.2.25 Retning N, høst (sep-okt-nov)

FF\N	0	1	2	3	4	5	6	7	8	9	SUM
0.0- 1.9 m/s	0	8	3	5	4	3	6	31	13	0	73
2.0- 3.9 m/s	0	33	9	31	16	25	39	68	46	5	272
4.0- 5.9 m/s	6	37	20	44	28	40	38	114	71	15	413
6.0- 7.9 m/s	1	42	37	43	27	29	41	108	55	3	386
8.0- 9.9 m/s	0	8	6	13	6	19	23	95	68	7	245
10.0-11.9 m/s	0	1	3	1	3	5	10	42	44	4	113
12.0-13.9 m/s	0	0	0	2	4	2	12	18	30	0	68
14.0-15.9 m/s	0	0	0	1	0	0	1	6	19	0	27
16.0-17.9 m/s	0	0	0	0	0	0	0	4	6	0	10
18.0-19.9 m/s	0	0	0	0	0	1	0	0	1	0	2
>=20.0 m/s	0	0	0	0	0	0	0	0	0	0	0
SUM	7	129	78	140	88	124	170	486	353	34	1609

Tabell 5.5.2.26 Retning NE, høst (sep-okt-nov)

FF\N	0	1	2	3	4	5	6	7	8	9	SUM
0.0- 1.9 m/s	1	10	4	6	5	3	3	16	10	0	58
2.0- 3.9 m/s	12	56	24	15	16	21	33	53	43	1	274
4.0- 5.9 m/s	13	96	50	23	21	27	32	85	53	6	406
6.0- 7.9 m/s	24	53	22	17	11	17	24	52	52	1	273
8.0- 9.9 m/s	2	18	8	6	2	1	6	42	30	4	119
10.0-11.9 m/s	0	5	4	1	1	0	0	10	14	1	36
12.0-13.9 m/s	0	2	3	0	0	0	0	0	4	0	9
14.0-15.9 m/s	0	1	1	2	0	0	0	0	0	0	4
16.0-17.9 m/s	0	0	0	0	0	0	0	0	0	0	0
18.0-19.9 m/s	0	0	0	0	0	0	0	0	0	0	0
>=20.0 m/s	0	0	0	0	0	0	0	0	0	0	0
SUM	52	241	116	70	56	69	98	258	206	13	1179

Tabell 5.5.2.27 Retning E, høst (sep-okt-nov)

FF\N	0	1	2	3	4	5	6	7	8	9	SUM
0.0- 1.9 m/s	3	10	10	7	0	7	6	33	15	1	92
2.0- 3.9 m/s	26	78	25	31	24	27	57	130	56	0	454
4.0- 5.9 m/s	55	165	49	43	43	36	68	233	103	5	800
6.0- 7.9 m/s	46	123	67	58	36	52	62	221	101	3	769
8.0- 9.9 m/s	21	80	30	30	26	27	31	117	87	6	455
10.0-11.9 m/s	5	35	13	8	9	10	12	34	53	8	187
12.0-13.9 m/s	1	8	3	4	1	4	2	3	7	1	34
14.0-15.9 m/s	0	1	1	0	0	1	0	0	2	0	5
16.0-17.9 m/s	0	0	0	0	0	0	0	0	0	0	0
18.0-19.9 m/s	0	0	0	0	0	0	0	0	0	0	0
>=20.0 m/s	0	0	0	0	0	0	0	0	0	0	0
SUM	157	500	198	181	139	164	238	771	424	24	2796

Tabell 5.5.2.28 Retning SE, høst (sep-okt-nov)

FF\N	0	1	2	3	4	5	6	7	8	9	SUM
0.0- 1.9 m/s	5	20	5	14	4	4	16	71	29	0	168
2.0- 3.9 m/s	27	181	86	89	67	86	152	619	337	28	1672
4.0- 5.9 m/s	132	349	160	161	144	145	218	791	591	15	2706
6.0- 7.9 m/s	22	92	38	55	39	51	79	360	362	18	1116
8.0- 9.9 m/s	4	36	9	13	6	15	21	126	166	14	410
10.0-11.9 m/s	2	11	2	3	2	4	6	37	76	10	153
12.0-13.9 m/s	0	0	0	2	0	2	4	13	26	1	48
14.0-15.9 m/s	0	0	0	0	0	0	0	3	8	1	12
16.0-17.9 m/s	0	0	0	1	1	1	0	2	5	0	10
18.0-19.9 m/s	0	0	0	0	0	1	0	0	0	0	1
>=20.0 m/s	0	0	0	0	1	1	1	0	0	0	3
SUM	192	689	300	338	264	310	497	2022	1600	87	6299

Tabell 5.5.2.29 Retning S, høst (sep-okt-nov)

FF\N	0	1	2	3	4	5	6	7	8	9	SUM
0.0- 1.9 m/s	5	24	8	10	7	10	20	50	22	1	157
2.0- 3.9 m/s	38	139	95	102	70	102	151	470	231	9	1407
4.0- 5.9 m/s	64	156	118	123	95	112	145	492	371	15	1691
6.0- 7.9 m/s	4	9	9	16	21	36	44	271	257	7	674
8.0- 9.9 m/s	0	1	1	2	6	14	17	124	159	2	326
10.0-11.9 m/s	0	0	2	2	0	9	8	86	91	2	200
12.0-13.9 m/s	0	0	0	1	2	2	7	43	54	1	110
14.0-15.9 m/s	0	0	0	0	0	2	0	27	44	0	73
16.0-17.9 m/s	0	0	0	0	1	0	2	13	18	1	35
18.0-19.9 m/s	0	0	0	0	0	0	0	3	8	0	11
>=20.0 m/s	0	0	0	0	0	0	0	0	11	0	11
SUM	111	329	233	256	202	287	394	1579	1266	38	4695

Tabell 5.5.2.30 Retning SV, høst (sep-okt-nov)

FF\N	0	1	2	3	4	5	6	7	8	9	SUM
0.0- 1.9 m/s	3	14	5	14	10	10	9	29	23	1	118
2.0- 3.9 m/s	2	29	20	30	36	40	71	172	84	10	494
4.0- 5.9 m/s	0	0	7	22	16	34	69	218	95	7	468
6.0- 7.9 m/s	0	0	4	16	14	35	46	208	136	9	468
8.0- 9.9 m/s	0	0	0	8	6	15	34	174	161	11	409
10.0-11.9 m/s	0	0	0	3	1	5	23	117	100	6	255
12.0-13.9 m/s	0	0	0	3	6	4	12	75	75	1	176
14.0-15.9 m/s	0	1	1	1	0	3	3	48	65	0	122
16.0-17.9 m/s	0	0	0	0	2	2	3	21	34	0	62
18.0-19.9 m/s	1	0	0	0	0	0	1	8	15	0	25
>=20.0 m/s	0	0	0	0	0	0	0	7	17	0	24
SUM	6	44	37	97	91	148	271	1077	805	45	2621

Tabell 5.5.2.31 Retning V, høst (sep-okt-nov)

FF\N	0	1	2	3	4	5	6	7	8	9	SUM
0.0- 1.9 m/s	0	4	3	10	7	10	16	34	14	0	98
2.0- 3.9 m/s	1	8	6	28	27	27	56	152	80	5	390
4.0- 5.9 m/s	1	1	5	16	22	47	54	192	68	8	414
6.0- 7.9 m/s	0	1	0	15	17	30	75	206	103	13	460
8.0- 9.9 m/s	0	0	2	11	16	27	60	196	85	20	417
10.0-11.9 m/s	0	0	1	3	12	8	35	129	57	12	257
12.0-13.9 m/s	0	0	0	0	1	3	15	56	39	6	120
14.0-15.9 m/s	0	0	0	1	0	0	5	25	14	2	47
16.0-17.9 m/s	0	0	0	0	1	1	1	7	0	0	10
18.0-19.9 m/s	0	0	0	0	0	0	0	3	2	2	7
>=20.0 m/s	0	0	0	0	0	0	0	2	1	0	3
SUM	2	14	17	84	103	153	317	1002	463	68	2223

Tabell 5.5.2.32 Retning NV, høst (sep-okt-nov)

5.5.3 Varighet av episoder

Tabell 5.5.3.1 viser statistikk for varighet av episoder hvor betingelsene $FF \leq 10.0$ m/s og $N \leq 4$ er oppfylt.

Totalt er det registrert 3933 tilfeller der kravene er oppfylt. Årskolonnen til høyre i tabellen kan i enkelte tilfeller inneholde hyppigheter som overstiger summen av månedsvarighetene for samme akkumulerte varighet. Dette skyldes episoder som krysser månedsgrensene.

For samtlige måneder er det registrert episoder som varer over 2 døgn (48 timer), for samtlige måneder med unntak av september forekommer det episoder som varer over 3 døgn (72 timer). Hyppigheten av episoder er størst om vinteren med et maksimalt antall registreringer (429) for desember, og minst om sommeren med et minimum i juli (212).

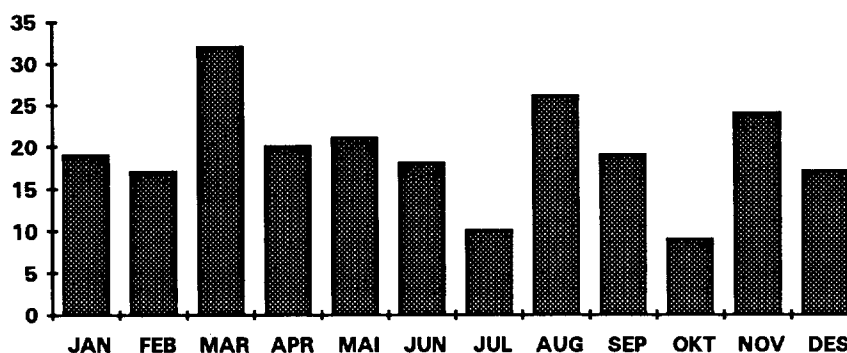
Varigheter av episoder med lengde over ett døgn opptrer mindre systematisk, men fortsatt med et minimum for oktober (9 tilfeller). Maksimum intrefrer i mars med 32 tilfeller. Varigheter av episoder med lengde over to døgn er tilnærmet uniformt distribuert gjennom året.

timer	JAN	FEB	MAR	APR	MAI	JUN	JUL	AUG	SEP	OKT	NOV	DES	AAR
>= 1	424	356	369	335	284	250	212	268	346	308	376	429	3933
>= 4	184	164	202	154	149	145	127	156	170	139	163	167	1899
>= 7	100	94	124	90	99	91	77	101	91	67	93	83	1100
>= 10	73	63	91	65	69	64	51	78	66	40	67	62	780
>= 13	54	47	74	50	53	49	36	59	49	33	51	45	595
>= 16	38	36	62	39	40	39	27	46	37	18	38	34	453
>= 19	29	25	48	31	35	31	21	38	26	12	31	23	352
>= 22	22	19	39	24	25	20	16	30	24	10	28	17	277
>= 25	19	17	32	20	21	18	10	26	19	9	24	17	236
>= 28	15	17	26	18	21	15	5	23	19	8	22	14	204
>= 31	15	12	20	15	19	14	5	18	15	8	15	12	168
>= 34	14	12	15	13	16	11	5	16	11	8	15	9	147
>= 37	11	10	12	13	13	10	4	13	8	7	15	9	127
>= 40	9	10	7	10	10	9	4	12	5	7	13	6	105
>= 43	8	6	7	9	10	7	4	10	3	7	11	4	90
>= 46	8	5	7	8	8	6	4	10	1	5	9	4	79
>= 49	7	4	5	7	7	6	4	9	1	5	7	4	69
>= 52	7	4	4	6	7	3	3	8	1	5	5	4	59
>= 55	5	3	4	5	5	3	1	8	1	5	4	3	48
>= 58	5	2	4	5	5	3	1	7	1	5	3	1	43
>= 61	5	2	4	4	3	3	1	6	1	5	3	1	39
>= 64	5	2	4	3	3	3	1	6	1	5	2	1	38
>= 67	4	2	3	3	3	2	1	6	0	5	2	1	33
>= 70	4	1	2	2	3	2	1	5	0	4	2	1	28
>= 73	2	1	2	2	3	1	1	3	0	3	1	1	22
>= 76	2	1	2	1	3	0	1	3	0	3	0	1	19
>= 79	2	1	2	1	3	0	1	2	0	2	0	1	17
>= 82	2	1	2	1	3	0	1	2	0	2	0	1	16
>= 85	2	1	2	1	2	0	1	2	0	1	0	1	13
>= 88	0	1	0	0	2	0	1	2	0	1	0	1	10
>= 91	0	1	0	0	2	0	1	2	0	1	0	1	9

Tabell 5.5.3.1 Varighet av episode: $FF \leq 10.0$ m/s, $N \leq 4$.

Figur 5.5.3.2 viser frekvensfordelingen for varighet av episoder med vindhastighet under 10.0 m/s og høyst 50% skydekke ($N \leq 4$) i tilfellet med varigheter som strekker seg over minst 24 timer.

Figuren viser lokale minimum for månedene juli og oktober. Dette harmonerer med skydekningsstatistikk presentert i figur 5.3.2.



Figur 5.5.3.2 Frekvensfordeling for tilfeller med $FF \leq 10.0 \text{ m/s}$ og $N \leq 4$ for over et døgn (>24 timer).

Tabell 5.5.3.3 viser statistikk for varighet av episoder hvor betingelsene $FF \leq 5.0 \text{ m/s}$ og $N \leq 4$ er oppfylt.

Totalt er det registrert 3537 tilfeller der dette kravet er oppfylt, hvilket svarer til 89% av registrerte tilfeller med $FF \leq 10.0$ og $N \leq 4$.

For 8 måneder er det registrert episoder som varer over 2 døgn (48 timer), og for januar og juli forekommer det en episode som varer over 3 døgn (72 timer). Total frekvensfordeling er kvalitativt lik tilfellet med $FF \leq 10.0$ og $N \leq 4$, dvs. lokale minima for februar, juni, juli og oktober og et absolutt minimum inntreffer i juli. Absolutt maksimum inntreffer imidlertid i mars i likhet med døgnvarigheten illustrert i figur 5.5.3.2.

Årskolonnen til høyre i tabellen inneholder hyppigheter som overstiger summen av månedsvarighetene for samme akkumulerte varighet. Dette skyldes episoder som krysser månedsgrensene.

timer	JAN	FEB	MAR	APR	MAI	JUN	JUL	AUG	SEP	OKT	NOV	DES	AAR
>= 1	310	243	380	310	279	215	223	299	319	288	352	340	3537
>= 4	101	86	160	146	142	123	117	165	158	124	140	113	1564
>= 7	51	43	78	75	85	65	66	100	83	51	70	55	818
>= 10	29	33	47	52	55	50	40	75	54	27	51	35	548
>= 13	21	23	34	37	42	30	25	53	38	17	34	23	377
>= 16	13	15	24	24	28	20	17	38	25	13	18	16	252
>= 19	11	9	15	16	24	13	11	30	17	10	16	11	185
>= 22	9	7	11	12	18	10	8	20	16	8	12	8	142
>= 25	5	3	8	10	11	8	8	19	13	4	7	5	101
>= 28	3	3	8	8	9	7	6	14	11	4	5	3	81
>= 31	3	3	4	5	7	7	6	9	10	3	5	1	65
>= 34	2	3	2	4	6	5	5	6	6	3	5	0	50
>= 37	2	3	2	4	4	5	3	5	3	2	5	0	41
>= 40	2	3	2	3	3	5	3	5	2	2	4	0	35
>= 43	2	2	1	2	3	4	3	4	0	1	4	0	27
>= 46	2	2	1	2	2	3	2	3	0	1	1	0	19
>= 49	2	2	1	2	1	3	2	1	0	0	0	0	14
>= 52	2	1	1	1	1	2	1	1	0	0	0	0	10
>= 55	2	1	1	1	1	1	1	1	0	0	0	0	9
>= 58	2	1	1	1	0	1	1	1	0	0	0	0	8
>= 61	2	0	1	1	0	1	1	1	0	0	0	0	7
>= 64	2	0	1	1	0	1	1	1	0	0	0	0	7
>= 67	1	0	0	0	0	0	1	1	0	0	0	0	4
>= 70	1	0	0	0	0	0	1	1	0	0	0	0	4
>= 73	1	0	0	0	0	0	1	0	0	0	0	0	3
>= 76	0	0	0	0	0	0	0	0	0	0	0	0	1
>= 79	0	0	0	0	0	0	0	0	0	0	0	0	1

Tabell 5.5.3.3

Varighet av episode: FF <= 5.0 m/s, N <= 4.